

## บทที่ 4

### ผลการทดลองและวิจารณ์ผลการทดลอง

#### 4.1 ผลการศึกษาการพัฒนาสูตรยางชั้นผิวหน้า

##### 4.1.1 อิทธิพลของชนิดและปริมาณสารเสริมแรงต่อสมบัติทางกายภาพของยางธรรมชาติ

การศึกษาอิทธิพลของชนิดและปริมาณสารเสริมแรง ต่อสมบัติทางกายภาพของยางธรรมชาติ เพื่อเป็นข้อมูลในการตัดสินใจในการเลือกใช้ชนิดและปริมาณของสารเสริมแรงในการทำผลิตภัณฑ์ถุงเก็บน้ำ สารเสริมแรงที่ใช้ศึกษาคือ เขม่าดำเกรด N220, N330 และซิลิกาเกรด Hi-Sil 233 สูตรยางที่ใช้ศึกษาอิทธิพลของชนิดและปริมาณสารเสริมแรง แสดงในตารางที่ 4.1 และ 4.2

ตารางที่ 4.1 สูตรยางที่ใช้ศึกษาผลของปริมาณเขม่าดำเกรด N220 และ N330 ต่อสมบัติทางกายภาพของยางธรรมชาติ

Ingredient	Loading (phr <sup>a</sup> )				
	CB-0	CB-10	CB-20	CB-30	CB-40
RSS No.3	100	100	100	100	100
Sulphur	2.5	2.5	2.5	2.5	2.5
Stearic acid	2	2	2	2	2
Zinc Oxide	5	5	5	5	5
CBS	1	1	1	1	1
(N220, N330) <sup>b</sup>	-	10	20	30	40
6PPD	1	1	1	1	1
Paraffin Wax	1	1	1	1	1
Spindle Oil	0	0.6	1.2	1.8	2.4

หมายเหตุ <sup>a</sup> phr: Parts per hundred of rubber

<sup>b</sup> สารเสริมแรง N220 และ N330 ใช้ในรูปของมาสเตอร์แบทช์

ตารางที่ 4.2 สูตรยางที่ใช้ศึกษาผลของปริมาณซิลิกาเกรด Hi-Sil 233 ต่อสมบัติทางกายภาพของยางธรรมชาติ

Ingredient	Loading (phr)				
	Hi-Sil 233-0	Hi-Sil 233-10	Hi-Sil 233-20	Hi-Sil 233-30	Hi-Sil 233-40
RSS No.3	100	100	100	100	100
Sulphur	2.5	2.5	2.5	2.5	2.5
Stearic acid	2	2	2	2	2
Zinc oxide	5	5	5	5	5
<b>Hi-Sil 233</b>	-	<b>10</b>	<b>20</b>	<b>30</b>	<b>40</b>
CBS	1	1	1	1	1
6PPD	1	1	1	1	1
Si-69	-	0.3	0.6	0.9	1.2
PEG	-	0.6	1.2	1.8	2.4
Paraffin wax	1	1	1	1	1
Spindle oil	0	0.6	1.2	1.8	2.4

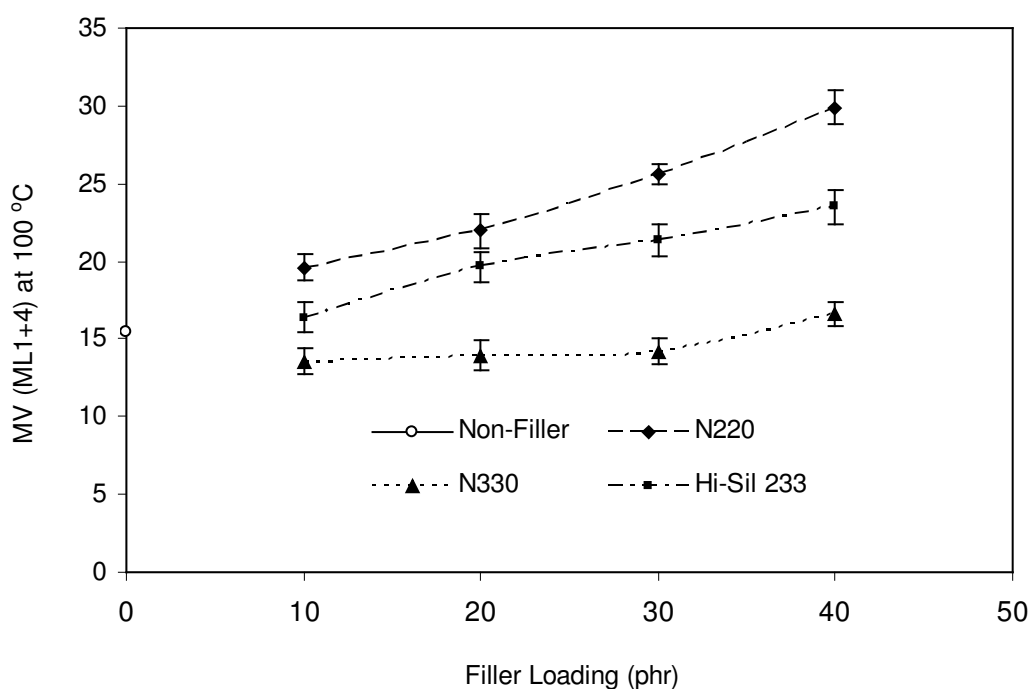
หมายเหตุ สารเสริมแรง Hi-Sil 233 ใช้ในรูปของมาสเตอร์แบทช์

#### 4.1.1.1 ผลการศึกษาความหนืดมูนีของยางคอมปาวด์

ความหนืดของยางธรรมชาติที่ใช้สารเสริมแรง N220, N330 และ Hi-Sil 233 แสดงในตารางที่ 4.3 และรูปที่ 4.1 เมื่อเพิ่มปริมาณสารเสริมแรงในปริมาณ 10 ถึง 40 phr พบว่าค่าความหนืดมูนีของยางคอมปาวด์มีแนวโน้มสูงขึ้นตามปริมาณสารเสริมแรงที่เพิ่มขึ้น โดยค่าความหนืดมูนีของยางธรรมชาติที่ใช้สารเสริมแรง N220 > Hi-Sil 233 > N330 เมื่อเปรียบเทียบเขม่าดำด้วยกัน N220 จะให้ค่าความหนืดมูนีสูงกว่า N330 ผลมาจากโครงสร้างของเขม่าดำ N220 สูงกว่า N330 (พรพรรณ, 2528) และสาเหตุที่ Hi-Sil 233 มีความหนืดสูงกว่า N330 คาดว่าเป็นผลมาจากขนาดอนุภาคเล็กและความเป็นสารอนินทรีย์ของซิลิกาจึงส่งผลให้ยางมีความหนืดสูง ส่วนค่าความหนืดของยางคอมปาวด์ส่งผลทำให้กระบวนการผลิตเป็นไปด้วยความยากลำบาก และสิ้นเปลืองพลังงานสูง

ตารางที่ 4.3 ค่าความหนืดมูนีของยางธรรมชาติที่ใช้สารเสริมแรง N220 330 และ Hi-Sil 233

Filler Loading (phr)	ML1+4 (100 °C)		
	N220	N330	Hi-Sil 233
0	15.46 ± 0.84	15.46 ± 0.84	15.46 ± 0.84
10	19.61 ± 0.79	13.57 ± 0.85	16.38 ± 0.98
20	21.94 ± 1.12	13.91 ± 0.96	19.63 ± 0.95
30	25.62 ± 0.68	14.21 ± 0.82	21.36 ± 1.08
40	29.91 ± 1.09	16.60 ± 0.78	23.52 ± 1.10



รูปที่ 4.1 ค่าความหนืดมูนีของยางคอมปาวด์ที่ใช้สารเสริมแรง N220, N330 และ Hi-Sil 233

#### 4.1.1.2 ผลการศึกษาลักษณะการวัลคาไนซ์

นำยางธรรมชาติคอมปาวด์ที่เตรียมตามสูตรดังตารางที่ 4.1 และ 4.2 ซึ่งเป็นยางคอมปาวด์ที่ผสมสารเสริมแรง N220, N330 และ Hi-Sil 233 ปริมาณ 10 ถึง 40 phr ไปทดสอบสมบัติการวัลคาไนซ์ด้วยเครื่อง MDR 2000 ที่อุณหภูมิ 150 °C เพื่อเปรียบเทียบความแตกต่างของเวลาการวัลคาไนซ์ (Cure time ( $t_{90}$ )) และ เวลาของคอมปาวด์สุกก่อนกำหนด (Scorch time ( $t_{2}$ )) ที่อุณหภูมิ 150 °C ผลการทดลองแสดงในตารางที่ 4.4 และ 4.5 และรูปที่ 4.2

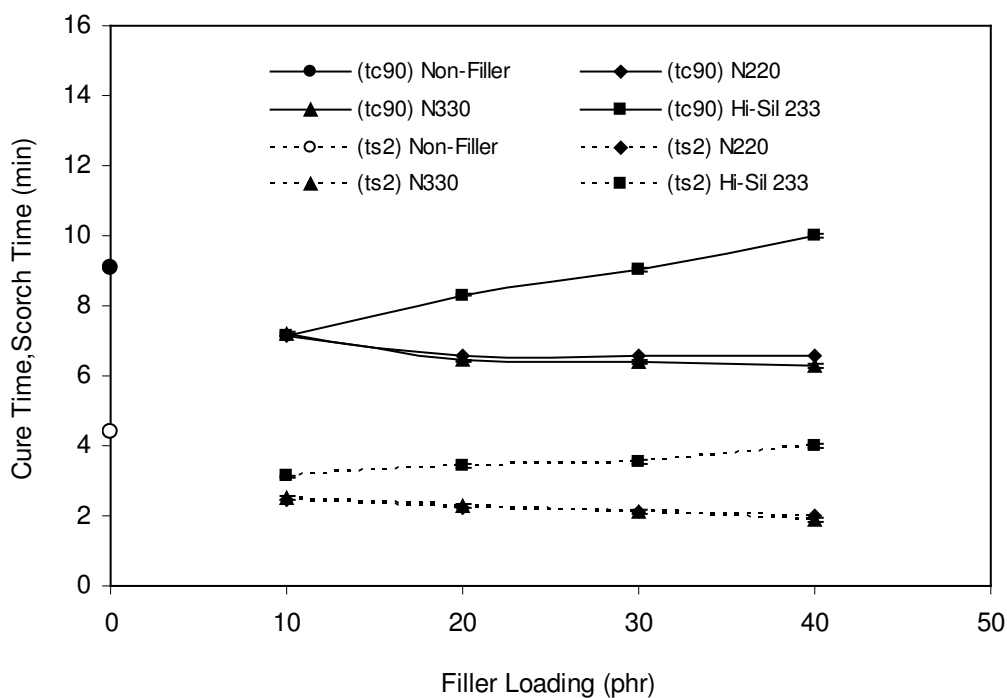
จากตารางที่ 4.4 และ 4.5 และรูปที่ 4.2 พบว่ายางธรรมชาติที่ใช้เขม่าดำทั้งเกรด N330 และ N220 จะมีค่า  $t_{c90}$  และ  $t_{s2}$  มีแนวโน้มลดลง แต่เมื่อใช้สารเสริมแรงชนิดซิลิกาเกรด Hi-Sil 233 พบว่าค่า  $t_{c90}$  และ  $t_{s2}$  มีแนวโน้มสูงขึ้น เนื่องจากซิลิกามีฤทธิ์เป็นกรดส่งผลให้ค่า  $t_{c90}$  และ  $t_{s2}$  มีแนวโน้มสูงขึ้น สำหรับงานวิจัยนี้ต้องการเวลาในการวัลคาไนซ์ที่สั้น เพื่อประหยัดเวลาและพลังงาน และเวลาขอมปาวด์สุกก่อนกำหนดเป็นเวลานานขึ้น เพื่อช่วยให้กระบวนการผลิตมีความปลอดภัยสูง

ตารางที่ 4.4 เวลาการวัลคาไนซ์ของยางธรรมชาติที่ใช้สารเสริมแรง N220, N330 และ Hi-Sil 233 ที่อุณหภูมิ 150 °C

Filler Loading (phr)	Cure time ( $t_{c90}$ ) at 150 °C (min)		
	N220	N330	Hi-Sil 233
0	9.06 ± 0.06	9.06 ± 0.05	9.06 ± 0.06
10	7.12 ± 0.05	7.22 ± 0.06	7.17 ± 0.05
20	6.58 ± 0.06	6.43 ± 0.05	8.31 ± 0.05
30	6.56 ± 0.05	6.38 ± 0.05	9.04 ± 0.05
40	6.55 ± 0.05	6.29 ± 0.05	10.00 ± 0.06

ตารางที่ 4.5 เวลาขอมปาวด์สุกก่อนกำหนดของยางธรรมชาติที่ใช้สารเสริมแรงชนิด N220 N330 และ Hi-Sil 233 ที่อุณหภูมิ 150 °C

Filler Loading (phr)	Scorch time ( $t_{s2}$ ) at 150 °C (min)		
	N220	N330	Hi-Sil 233
0	4.38 ± 0.01	4.38 ± 0.01	4.38 ± 0.01
10	2.43 ± 0.05	2.52 ± 0.05	3.12 ± 0.04
20	2.25 ± 0.05	2.28 ± 0.06	3.43 ± 0.05
30	2.13 ± 0.06	2.13 ± 0.05	3.56 ± 0.05
40	2.02 ± 0.06	1.90 ± 0.06	4.02 ± 0.05



รูปที่ 4.2 เวลาวัลคาไนซ์และเวลายางสุกก่อนกำหนดของยางธรรมชาติที่ใช้สารเสริมแรง N220 N330 และ Hi-Sil 233 ที่อุณหภูมิ 150 °C

#### 4.1.1.3 ผลการศึกษาสมบัติความต้านทานต่อแรงดึง

ผลการทดสอบสมบัติความต้านทานต่อแรงดึง ของยางธรรมชาติที่ใช้สารเสริมแรง N220, N330 และ Hi-Sil 233 แสดงในตาราง 4.6 ถึง 4.11 และ รูปที่ 4.3 ถึง 4.8 พบว่าค่า ความต้านทานต่อแรงดึง และ 300% มอดุลัส ของยางธรรมชาติที่ใช้ N220 > N330 > Hi-Sil 233 ส่วนค่า ระยะยืด ณ จุดขาด ของยางธรรมชาติที่ใช้ Hi-Sil 233 > N220 > N330 สารเสริมแรงชนิดเขม่าดำ และซิลิกาเป็นสารเสริมแรงชนิดเสริมประสิทธิภาพ เพราะฉะนั้นการเพิ่มปริมาณสารเสริมแรงดังกล่าวส่งผลให้ค่าความต้านทานต่อแรงดึง และ 300% มอดุลัส มีค่าสูงขึ้น แต่ปริมาณสารเสริมแรงจะไปลดความเป็นยางลงทำให้ค่าระยะยืด ณ จุดขาด ลดต่ำลงจากการทดลองเมื่อใส่สารเสริมแรงเกิน 40 phr จะทำให้ค่าความต้านทานต่อแรงดึงลดลงเนื่องจากความเข้ากันได้ของสารเสริมแรงกับยางธรรมชาติมีขีดจำกัด

เหตุที่เขม่าดำเกรด N220 ทำใหยางธรรมชาติมีค่าความต้านทานต่อแรงดึง 300% มอดุลัส และ ระยะยืด ณ จุดขาด สูงกว่ายางธรรมชาติที่ผสมเขม่าดำเกรด N330 เป็นเพราะ N220 มีขนาดอนุภาคเล็กกว่า N330 จึงส่งผลให้มีค่าดังกล่าวสูงขึ้น เมื่อเปรียบเทียบสมบัติของแรงดึงระหว่างยางที่ใช้เขม่าดำกับซิลิกาพบว่าเขม่าดำจะให้ค่าความต้านทานต่อแรงดึง และ 300% มอดุลัส

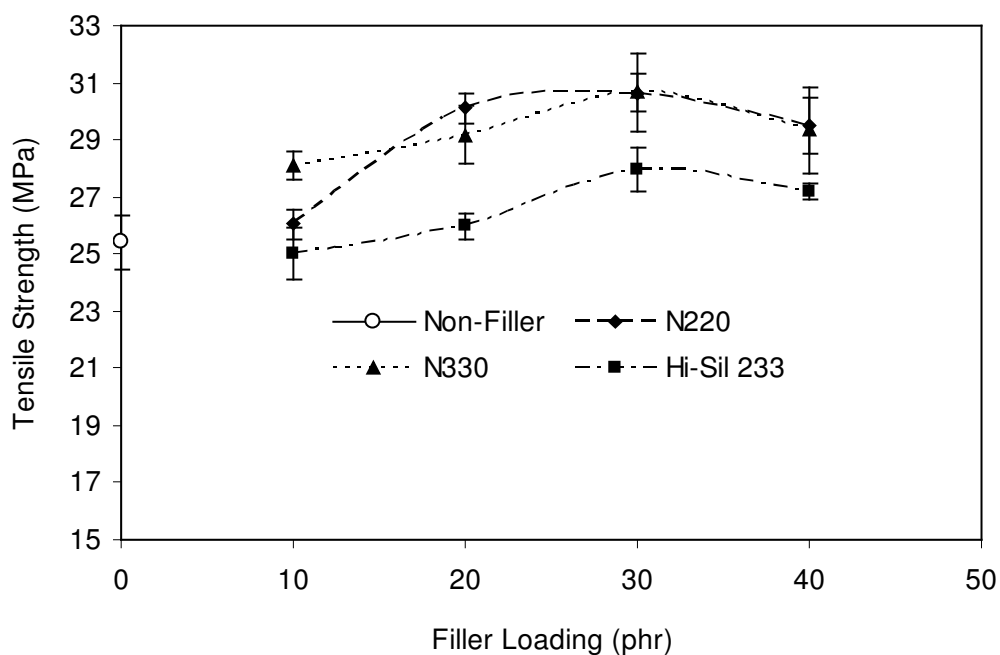
สูงกว่าซิลิกา คาดว่าเป็นผลมาจากซิลิกาเป็นสารอนินทรีย์เข้ากับยางซึ่งเป็นสารอินทรีย์ได้ยากกว่า เชม่าคำจึงส่งผลให้การเสริมแรงของซิลิกาดีกว่าเชม่าคำ และจากอนุภาคปฐมภูมิของซิลิกาจะรวมกลุ่มกันเป็นโครงสร้างปฐมภูมิในยางด้วยพันธะโควาเลนต์ ซึ่งเป็นพันธะที่แข็งแรงไม่สามารถถูกทำลายได้ในระหว่างการผสม และโครงสร้างปฐมภูมิยังสามารถเกาะกลุ่มกันเป็นกลุ่มก้อนขนาดใหญ่ เกิดเป็นโครงสร้างทุติยภูมิของซิลิกาด้วยพันธะไฮโดรเจน เมื่อผสมทำให้การกระจายตัวในยางได้ไม่ดีซึ่งอนุภาคจะไปเกาะกลุ่มกันเป็นก้อน (พงษ์ธร, 2548) ทำให้ในโครงสร้างของยางในส่วนที่อนุภาคของซิลิกากระจายไม่ถึงจะมีความเป็นยางมากส่งผลให้ยางมีค่าระยะยืด ณ จุดขาด สูงขึ้น แต่ค่าความต้านทานต่อแรงดึง และ 300% มอดุลัส ต่ำลง

สมบัติความต้านทานต่อแรงดึงที่เปลี่ยนแปลงหลังการบ่มเร่งพบว่าค่า 300% มอดุลัส มีแนวโน้มเพิ่มขึ้นโดยยางธรรมชาติที่ใช้สารเสริมแรง N330 มีค่าสูงกว่า N220 และ Hi-Sil 233 ตามลำดับ ส่วนค่าความต้านทานต่อแรงดึง และ ระยะยืด ณ จุดขาด ของยางธรรมชาติที่ใช้สารเสริมแรง Hi-Sil 233 มีเปอร์เซ็นต์การเปลี่ยนแปลงหลังการบ่มเร่งมีแนวโน้มลดลง (ค่าติดลบน้อย) ส่วนยางธรรมชาติที่ใช้สารเสริมแรง N220 และ N330 มีเปอร์เซ็นต์การเปลี่ยนแปลงหลังการบ่มเร่งมีแนวโน้มเพิ่มขึ้น (ค่าติดลบมาก) โดยที่ยางธรรมชาติที่ใช้ N330 มีเปอร์เซ็นต์การเปลี่ยนแปลงสูงกว่ายางธรรมชาติที่ใช้ N220 แสดงว่ายางธรรมชาติที่ใช้สารเสริมแรง N330 และ N220 มีข้อดีด้านการทนต่อการถูกออกซิไดซ์มากกว่ายางธรรมชาติที่ใช้สารเสริมแรง Hi-Sil 233 เนื่องจากออกซิเจนสามารถละลายในยางได้มากขึ้นถ้าหากว่ามีเชม่าคำ (อรสา, 2546)

**ตารางที่ 4.6** ค่าความต้านทานต่อแรงดึง ของยางธรรมชาติที่ใช้สารเสริมแรง N220, N330 และ

Hi-Sil 233

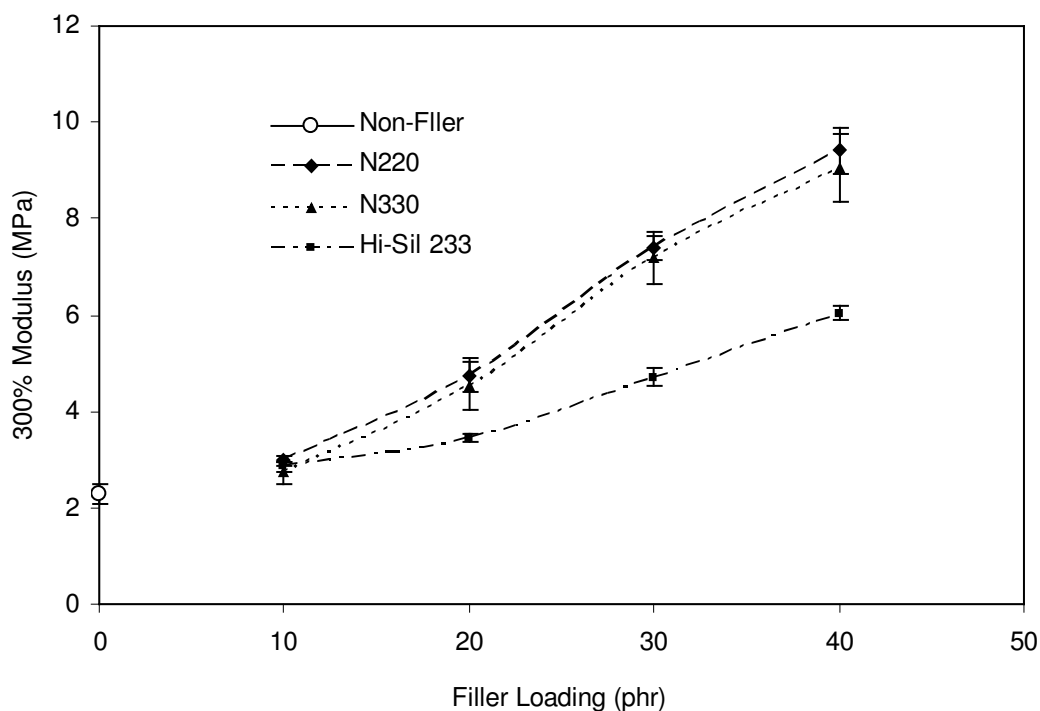
Filler Loading (phr)	ความต้านทานต่อแรงดึง (MPa)		
	N220	N330	Hi-Sil 233
0	25.41 ± 1.94	25.41 ± 1.94	25.41 ± 1.94
10	26.06 ± 0.52	28.11 ± 0.48	25.01 ± 0.91
20	30.1 ± 0.53	29.17 ± 1.01	25.98 ± 0.47
30	30.65 ± 0.69	30.66 ± 1.38	27.97 ± 0.78
40	29.49 ± 0.98	29.34 ± 1.49	27.19 ± 0.31



รูปที่ 4.3 ค่าความต้านทานต่อแรงดึงของยางธรรมชาติที่ใช้สารเสริมแรง N220, N330 และ Hi-Sil 233

ตารางที่ 4.7 ค่า 300% มอดุลัส ของยางธรรมชาติที่ใช้สารเสริมแรง N220, N330 และ Hi-Sil 233

Filler Loading (phr)	300% Modulus (MPa)		
	N220	N330	Hi-Sil 233
0	2.30 ± 0.21	2.30 ± 0.21	2.30 ± 0.21
10	2.97 ± 0.12	2.73 ± 0.23	2.85 ± 0.34
20	4.75 ± 0.34	4.51 ± 0.50	3.45 ± 0.33
30	7.40 ± 0.24	7.17 ± 0.54	4.47 ± 0.43
40	9.41 ± 0.49	9.06 ± 0.70	6.03 ± 0.48

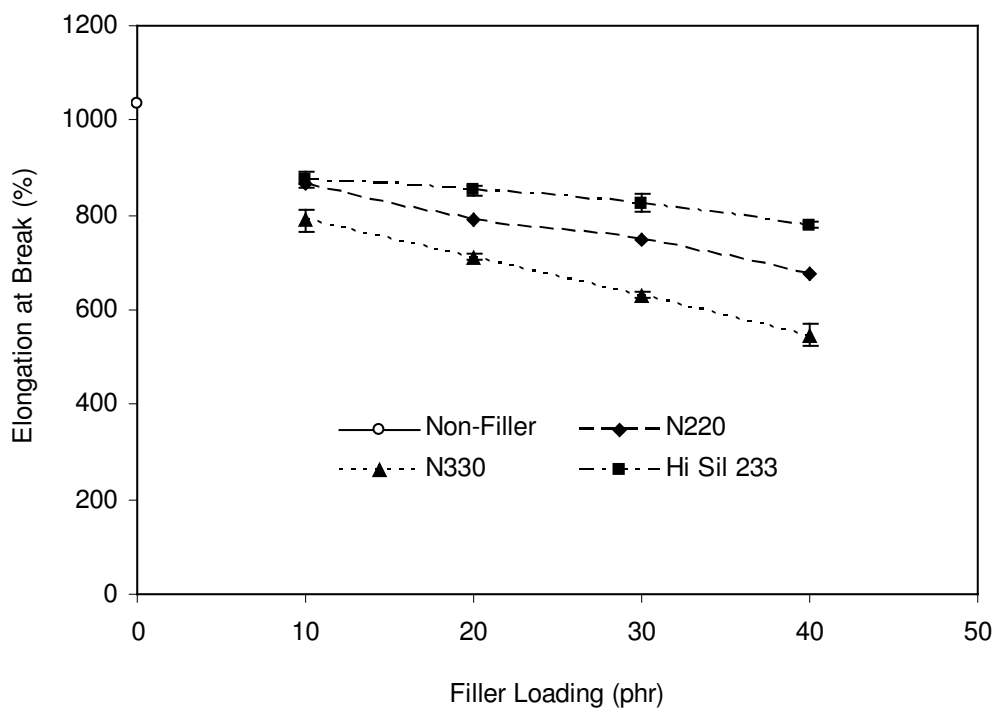


รูปที่ 4.4 ค่า 300% มอดุลัส ของยางธรรมชาติที่ใช้สารเสริมแรง N220, N330 และ Hi-Sil 233

ตารางที่ 4.8 ค่าระยะยืด ณ จุดขาด ของยางธรรมชาติที่ใช้สารเสริมแรง N220, N330 และ Hi-Sil 233

Filler Loading (phr)	Elongation at Break (%)		
	N220	N330	Hi-Sil 233
0	1037.00 ± 15.82	1037.00 ± 15.82	1037.00 ± 15.82
10	859.00 ± 8.20	788.20 ± 22.33	859.40 ± 17.45
20	821.00 ± 11.98	711.90 ± 8.23	853.00 ± 10.33
30	733.70 ± 10.97	630.00 ± 6.39	819.00 ± 19.5
40	673.10 ± 12.75	545.80 ± 23.6	771.70 ± 6.04

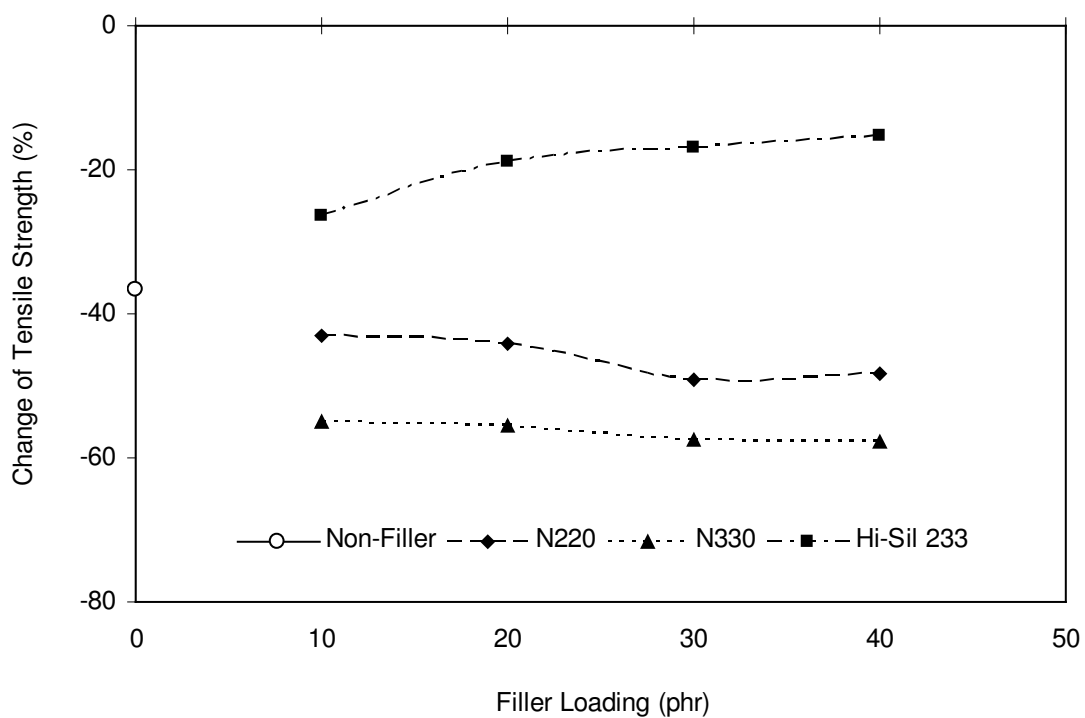




รูปที่ 4.5 ค่าระยะยืด ณ จุดขาด ของยางธรรมชาติที่ใช้สารเสริมแรง N220, N330 และ Hi-Sil 233

ตารางที่ 4.9 ค่าความต้านทานต่อแรงดึงที่เปลี่ยนแปลงหลังการป้อนแรง ของยางธรรมชาติที่ใช้สารเสริมแรง N220, N330 และ Hi-Sil 233

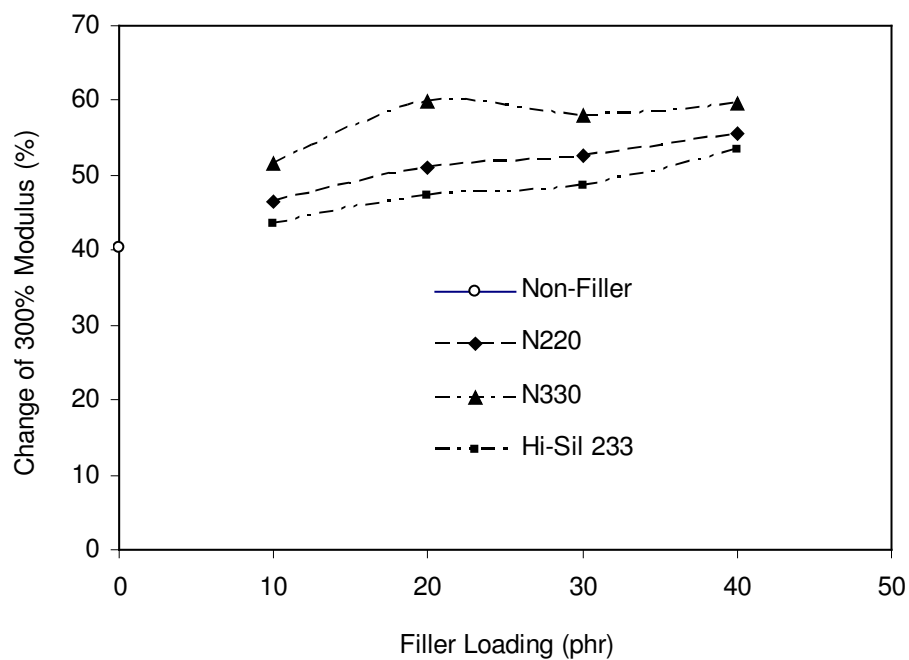
Filler Loading (phr)	Change of Tensile Strength (%)		
	N220	N330	Hi-Sil 233
0	-36.66	-36.66	-36.66
10	-43.13	-54.9	-26.38
20	-44.15	-55.5	-18.86
30	-49.26	-57.59	-16.83
40	-48.42	-57.77	-15.4



รูปที่ 4.6 ค่าความต้านทานต่อแรงดึงที่เปลี่ยนแปลงหลังการบ่มแรง ของยางธรรมชาติที่ใช้สารเสริมแรง N220, N330 และ Hi-Sil 233

ตารางที่ 4.10 ค่า 300% มอดุลัส ที่เปลี่ยนแปลงหลังการบ่มแรงของยางธรรมชาติที่ใช้สารเสริมแรง N220, N330 และ Hi-Sil 233

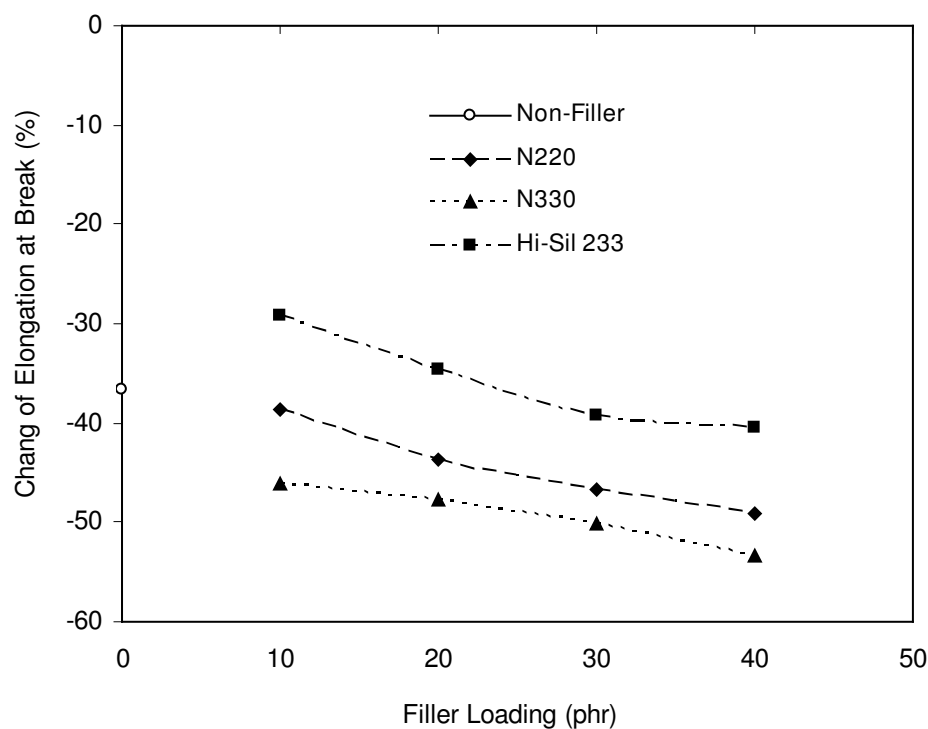
Filler Loading (phr)	Change of 300% Modulus (%)		
	N220	N330	Hi-Sil 233
0	40.43	40.43	40.43
10	46.46	51.65	43.45
20	51.16	59.98	47.31
30	52.57	57.88	48.67
40	55.47	59.60	53.45



รูปที่ 4.7 ค่า 300% มอดุลัสที่เปลี่ยนแปลงหลังการบ่มแรงของยางธรรมชาติที่ใช้สารเสริมแรง N220 N330 และ Hi-Sil 233

ตารางที่ 4.11 ค่าระยะยืด ณ จุดขาด ที่เปลี่ยนแปลงหลังบ่มแรงของยางธรรมชาติที่ใช้สารเสริมแรง N220, N330 และ Hi-Sil 233

Filler Loading (phr)	Change of Elongation at Break (%)		
	N220	N330	Hi-Sil 233
0	-36.73	-36.73	-36.73
10	-38.64	-46.14	-29.19
20	-43.67	-47.73	-34.61
30	-46.71	-50.07	-39.21
40	-49.21	-53.45	-40.52



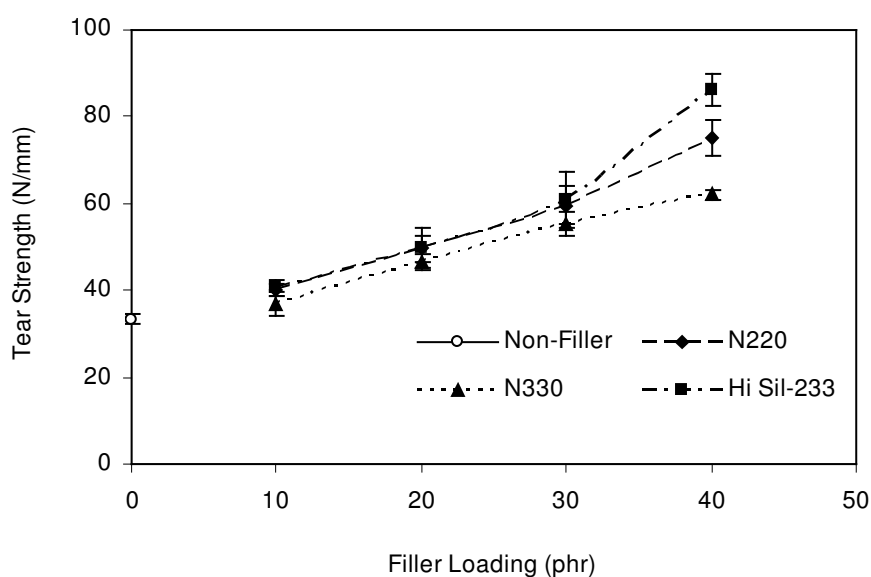
รูปที่ 4.8 ค่าระยะยืด ณ จุดขาด ที่เปลี่ยนแปลงหลังบ่มเร่งของยางธรรมชาติที่ใช้สารเสริมแรง N220, N330 และ Hi-Sil 233

#### 4.1.1.4 ผลการศึกษาสมบัติความต้านทานต่อการฉีกขาดของยางธรรมชาติ

ความต้านทานต่อการฉีกขาดของยางธรรมชาติที่ใช้สารเสริมแรง N220, N330 และ Hi-Sil 233 แสดงในตารางที่ 4.12 และ รูปที่ 4.9 พบว่าเมื่อเพิ่มปริมาณของสารเสริมแรงจะทำให้ยางธรรมชาติมีความต้านทานต่อการฉีกขาดมากขึ้น โดยความต้านทานต่อการฉีกขาดของยางธรรมชาติที่ใช้สารเสริมแรง Hi-Sil 233 > N220 > N330 ตามลำดับ ความต้านทานต่อการฉีกขาดของยางธรรมชาติขึ้นอยู่กับขนาดอนุภาคของสารเสริมแรงโดย Hi-Sil 233 จะมีขนาดอนุภาคเล็กกว่า N220 และ N330 เป็นผลให้ความต้านทานต่อการฉีกขาดสูง (พรพรรณ, 2528)

ตารางที่ 4.12 ค่าความต้านทานต่อการฉีกขาดของยางธรรมชาติที่ใช้สารเสริมแรง N220, N330 และ Hi-Sil 233

Filler Loading (phr)	Tear Strength (N/mm)		
	N220	N330	Hi-Sil 233
0	33.41 ± 0.97	33.41 ± 0.97	33.41 ± 0.97
10	40.21 ± 1.41	36.88 ± 2.64	40.43 ± 1.83
20	49.59 ± 2.95	46.46 ± 1.98	49.90 ± 4.65
30	59.65 ± 4.27	55.29 ± 2.65	60.78 ± 6.56
40	75.24 ± 4.12	62.11 ± 1.10	86.26 ± 3.58



รูปที่ 4.9 ค่าความต้านทานต่อการฉีกขาดของยางธรรมชาติที่ใช้สารเสริมแรง N220, N330 และ Hi-Sil 233

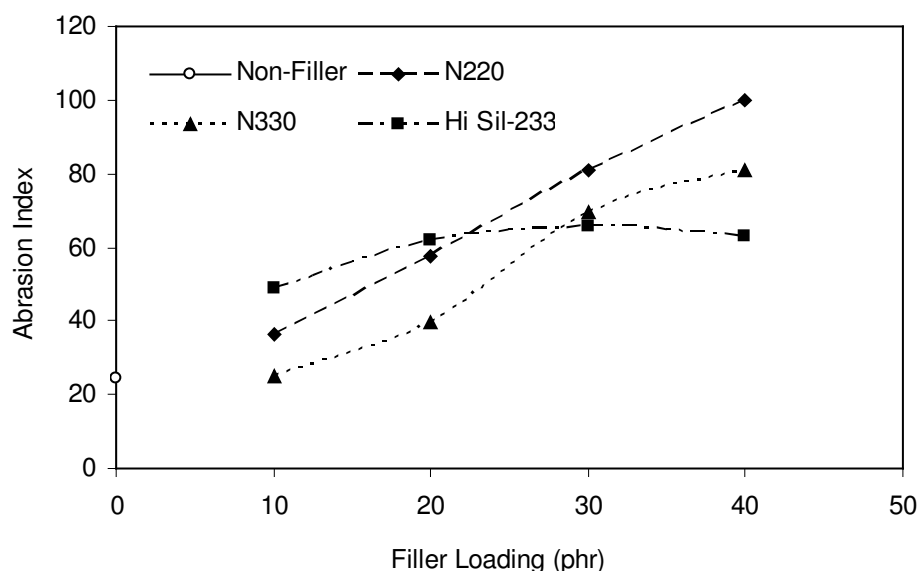
#### 4.1.1.5 ผลการศึกษาสมบัติความต้านทานต่อการสึกหรอของยางธรรมชาติ

ความต้านทานต่อการสึกหรอของยางธรรมชาติที่ใช้สารเสริมแรง N220, N330 และ Hi-Sil 233 แสดงในตารางที่ 4.13 และรูปที่ 4.10 พบว่าที่ปริมาณสารเสริมแรง 10 ถึง 20 phr จะเห็นได้ว่ายางธรรมชาติที่ใช้สารเสริมแรง Hi-Sil 233 จะมีค่าดัชนีการสึกหรอ (A.I.) สูงกว่ายางธรรมชาติที่ใช้ N220 และ N330 ตามลำดับ แต่เมื่อเพิ่มปริมาณสารเสริมแรง 30 ถึง 40 phr พบว่ายางธรรมชาติที่ใช้ N220 จะให้ค่า A.I. สูงกว่ายางธรรมชาติที่ใช้ N330 และ Hi-Sil 233 ค่าดัชนีการสึก

หรง (A.I.) เป็นค่าที่บ่งบอกถึงความต้านทานต่อการขัดถูของยาง ยางที่มีค่า A.I. สูงแสดงว่ายางนั้นมีความต้านทานต่อการขัดถูดี จากการทดลองพบว่ายางธรรมชาติที่ใช้สารเสริมแรงเขม่าดำมีค่า A.I. สูงกว่ายางธรรมชาติที่ใช้สารเสริมแรงชนิดซิลิกา ดังนั้นจึงเป็นเหตุผลหนึ่งที่ยกมใช้สารเสริมแรงชนิดเขม่าดำในอุตสาหกรรมประเภทยางยานพาหนะ

ตารางที่ 4.13 ค่าดัชนีความต้านทานต่อการสึกหรอของยางธรรมชาติที่ใช้สารเสริมแรง N220, N330 และ Hi-Sil 233

Filler Loading (phr)	Abrasion Index (A.I.)		
	N220	N330	Hi-Sil 233
0	24.41	24.41	24.41
10	36.29	25.08	48.83
20	57.75	39.57	62.13
30	80.86	69.53	65.80
40	99.76	80.96	63.03



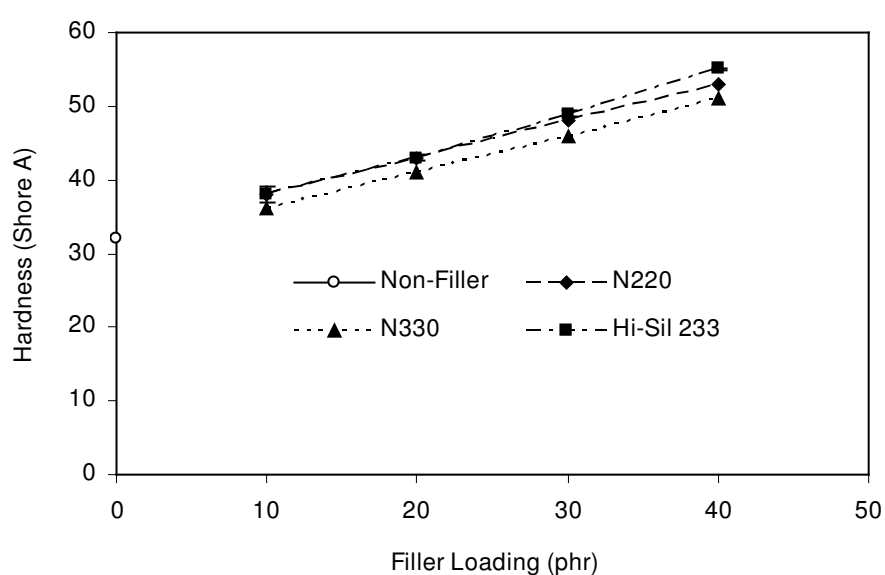
รูปที่ 4.10 ค่าดัชนีความต้านทานต่อการสึกหรอของยางธรรมชาติที่ใช้สารเสริมแรง N220, N330 และ Hi-Sil 233

#### 4.1.1.6 ผลการศึกษาความแข็งของยางธรรมชาติ

ความแข็งของยางธรรมชาติที่ใช้สารเสริมแรง N220, N330 และ Hi-Sil 233 แสดงในตารางที่ 4.14 และ รูปที่ 4.11 เมื่อเพิ่มปริมาณสารเสริมแรงพบว่าค่าความแข็งของยางธรรมชาติมีแนวโน้มสูงขึ้นตามปริมาณสารเสริมแรงที่เพิ่มขึ้น โดยค่าความแข็งของยางธรรมชาติที่ใช้สารเสริมแรง Hi-Sil 233 > N220 > N330 คาดว่าเป็นผลมาจากความเป็นสารอนินทรีย์ของซิลิกาจึงส่งผลให้ยางมีความแข็งสูง ส่วน N220 จะให้ค่าความแข็งสูงกว่า N330 ผลมาจากขนาดอนุภาคที่เล็กและโครงสร้างที่สูงของ N220 จึงทำให้มีความแข็งสูงกว่า

ตารางที่ 4.14 ค่าความแข็งของยางธรรมชาติที่ใช้สารเสริมแรง N220, N330 และ Hi-Sil 233

Filler Loading (phr)	Hardness (Shore A)		
	N220	N330	Hi-Sil 233
0	32 ± 0.50	32 ± 0.50	32 ± 0.50
10	38 ± 0.50	36 ± 0.23	38 ± 0.50
20	43 ± 0.23	41 ± 0.50	43 ± 0.50
30	48 ± 0.23	46 ± 0.50	49 ± 0.50
40	53 ± 0.50	51 ± 0.50	55 ± 0.23



รูปที่ 4.11 ค่าความแข็งของยางธรรมชาติที่ใช้สารเสริมแรง N220, N330 และ Hi-Sil 233

#### 4.1.2 ผลการศึกษาอิทธิพลของปริมาณ Silane coupling agent ชนิด Si-69 ต่อสมบัติทางกายภาพของยางธรรมชาติ

จากการศึกษาอิทธิพลของสารเสริมแรง พบว่าสารเสริมแรงชนิดซิลิกาเกรด Hi-Sil 233 ปริมาณ 30 phr ให้สมบัติโดยรวมดีที่สุดที่จะนำมาเป็นสูตรเริ่มต้นในการพัฒนาเป็นสูตรยางชั้นผิวหน้า เนื่องจาก Hi-Sil 233 เป็นสารเสริมแรงที่ใช้สัมผัสอาหารได้ปลอดภัยกว่าเขม่าดำ และให้สมบัติความต้านทานต่อการบ่มเร่ง ความต้านทานต่อแรงดึง ความต้านทานต่อการฉีกขาด ตามต้องการจึงได้นำสารเสริมแรงดังกล่าวในปริมาณ 30 phr มาเป็นสูตรเริ่มต้นในการพัฒนาเป็นสูตรยางชั้นผิวหน้า และการใช้ซิลิกาให้มีประสิทธิภาพต้องเติมสารช่วยยึดระหว่างยางกับซิลิกา (Silane coupling agent) ดังนั้นจึงทำการศึกษาอิทธิพลของปริมาณสารช่วยยึดระหว่างยางกับซิลิกา เกรด Si-69 ต่อสมบัติทางกายภาพของยางธรรมชาติ สูตรยางที่ใช้ศึกษาแสดงในตารางที่ 4.15

ตารางที่ 4.15 สูตรยางที่ใช้ศึกษาอิทธิพลของปริมาณ Si-69 ต่อสมบัติทางกายภาพของยางธรรมชาติ

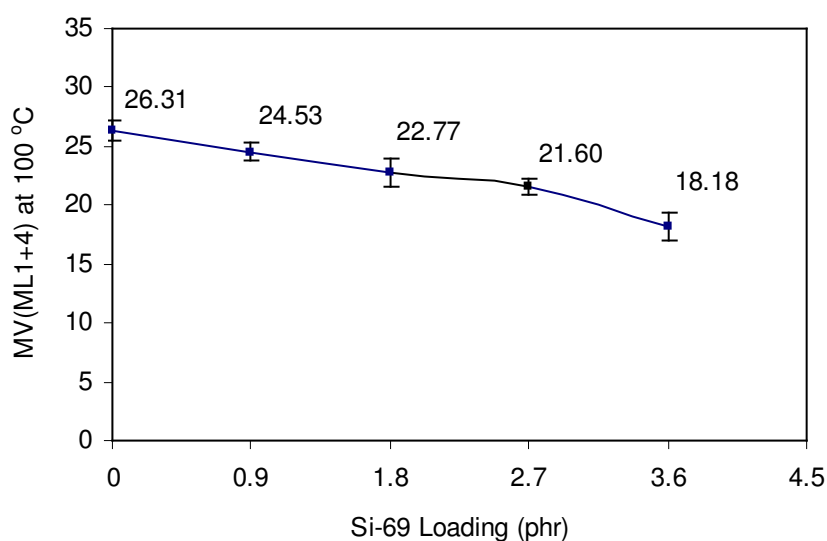
Ingredient	Loading (phr)				
	Silane 0%	Silane 3%	Silane 6%	Silane 9%	Silane 12%
RSS No.3	100	100	100	100	100
Sulphur	2.5	2.5	2.5	2.5	2.5
Stearic acid	2	2	2	2	2
Zinc oxide	5	5	5	5	5
<b>Hi-Sil233</b>	<b>30</b>	<b>30</b>	<b>30</b>	<b>30</b>	<b>30</b>
CBS	1	1	1	1	1
6PPD	1	1	1	1	1
<b>Si-69</b>	<b>0</b>	<b>0.9</b>	<b>1.8</b>	<b>2.7</b>	<b>3.6</b>
PEG 4000	1.8	1.8	1.8	1.8	1.8
Paraffin wax	1	1	1	1	1
Spindle oil	1.8	1.8	1.8	1.8	1.8

หมายเหตุ สารเสริมแรง Hi-Sil 233 ใช้ในรูปของมาสเตอร์แบทช์



#### 4.1.2.1 ผลการศึกษาความหนืดมูนิของยางคอมปาวด์

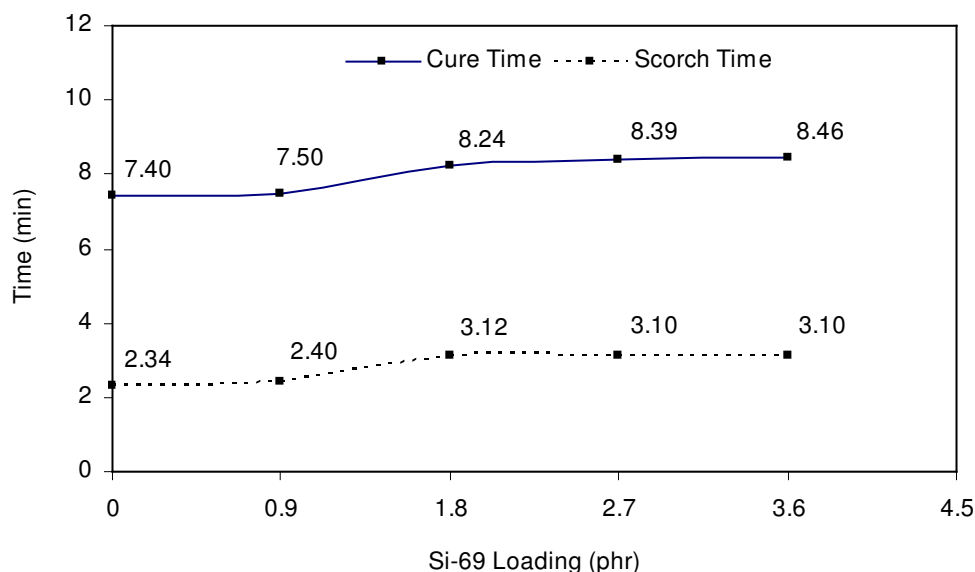
ความหนืดมูนิของยางธรรมชาติที่ใช้ Si-69 แสดงในรูปที่ 4.12 พบว่าความหนืดมูนิของยางคอมปาวด์มีแนวโน้มลดลงเมื่อเพิ่มปริมาณ Si-69 เนื่องจากสารช่วยยึดชนิดไซเลนสามารถเกิดปฏิกิริยาเคมีกับหมู่ไซลานอลบนพื้นผิวของซิลิกา จึงไปลดอันตรกิริยาระหว่างอนุภาคของซิลิกา ทำให้อนุภาคของซิลิกาที่เกาะกลุ่มกันเป็นก้อนแตกออกกระจายได้ดีในยาง ส่งผลให้ความหนืดมูนิของยางคอมปาวด์ลดลง (Pongdhorn *et al.*, 2005)



รูปที่ 4.12 ค่าความหนืดมูนิของยางคอมปาวด์ที่ใช้ Si-69 ปริมาณต่างๆ

#### 4.1.2.2 ผลการศึกษาลักษณะการวัลคาไนซ์ของยางธรรมชาติ

ลักษณะการวัลคาไนซ์ของยางธรรมชาติที่ใช้ Si-69 แสดงในรูปที่ 4.13 เมื่อเพิ่มปริมาณ Si-69 พบว่าเวลาการวัลคาไนซ์ ( $t_{90}$ ) และเวลายางคอมปาวด์สุกก่อนกำหนด ( $t_{s2}$ ) มีแนวโน้มเพิ่มขึ้นเล็กน้อยซึ่งสอดคล้องกับงานวิจัยของ (Poh and NG, 1998) ซึ่งได้ให้เหตุว่าเป็นผลมาจากความเกะกะ (Steric hindrance effect) ของหมู่ปลายที่มีขนาดใหญ่ส่งผลให้เวลาการวัลคาไนซ์ช้า

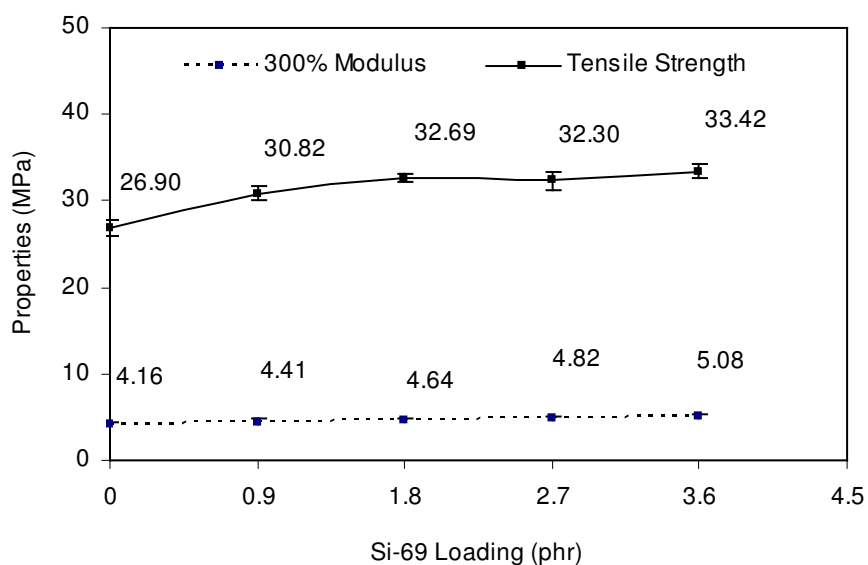


รูปที่ 4.13 ค่าเวลาการวัลคาไนซ์และเวลาขางคอมปาวด์สุกก่อนกำหนด ของยางธรรมชาติที่ใช้ Si-69 ปริมาณต่างๆ ที่อุณหภูมิ 150 °C

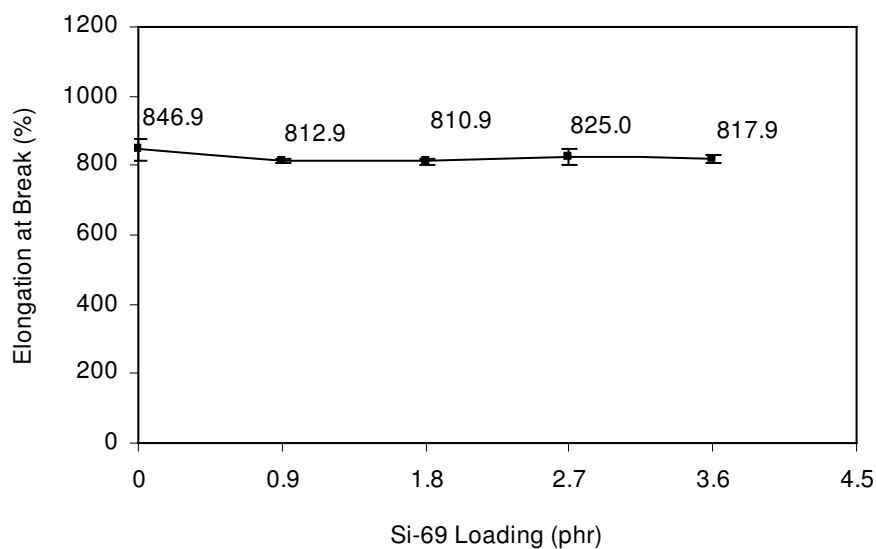
#### 4.1.2.3 ผลการศึกษาสมบัติความต้านทานต่อแรงดึงของยางธรรมชาติ

ความต้านทานต่อแรงดึงของยางธรรมชาติที่ใช้ Si-69 แสดงในรูปที่ 4.14 ถึง 4.16 พบว่าค่า ความต้านทานต่อแรงดึง และ 300% มอดุลัส มีแนวโน้มสูงขึ้นตามปริมาณของ Si-69 ที่เพิ่มขึ้น เนื่องจากหมู่อัลคอกซิลจะเข้าทำปฏิกิริยาเคมีกับหมู่ไซลานอนที่อยู่บนพื้นผิวของซิลิกาในระหว่างกระบวนการผสมเกิดเป็นพันธะไซลอกเซน (Siloxane) ปฏิกิริยาดังกล่าวจะทำให้พื้นผิวของซิลิกามีปริมาณหมู่ไซลานอลลดลง ด้วยเหตุนี้การเติม Si-69 จึงทำให้อันตรกิริยาระหว่างอนุภาคของซิลิกา (Filler-filler interaction) ลดลง ซิลิกาจึงแตกตัวและกระจายตัวในยางได้ง่ายยิ่งขึ้น ส่วนหมู่ที่เป็นสารประกอบอินทรีย์ ซึ่งส่วนใหญ่จะมีกำมะถันเป็นองค์ประกอบก็จะเข้าไปมีส่วนร่วมในปฏิกิริยาโครงรูป (เฉพาะในระบบที่มีการโครงรูปด้วยกำมะถันเท่านั้น) ทำให้เกิดการเชื่อมโยงกับยางธรรมชาติ ด้วยเหตุนี้ Si-69 จึงทำหน้าที่เสมือนสะพานเชื่อมระหว่างยางกับซิลิกา ทำให้อันตรกิริยาระหว่างยางธรรมชาติกับซิลิกา (Rubber-filler Interaction) มีค่าสูงขึ้น จึงส่งผลทำให้ค่าความต้านทานต่อแรงดึง 300% มอดุลัส และความต้านทานต่อการฉีกขาดมีค่าสูงขึ้น (Pongdhorn *et al.*, 2004) ปริมาณของ Si-69 ที่เพิ่มขึ้นไม่ส่งผลต่อค่า ระยะยืด ณ จุดขาด มากนักค่าที่ได้มีความใกล้เคียงกัน ส่วนสมบัติของแรงดึงที่เปลี่ยนแปลงภายหลังการบ่มแรงพบว่าค่าความต้านทานต่อแรงดึง 300% มอดุลัส และ ระยะยืด ณ จุดขาด มีเปอร์เซ็นต์การเปลี่ยนแปลงภายหลังการบ่มแรงของยางธรรมชาติที่ใช้ Si-69 ในปริมาณ 0.9 ถึง 3.6 phr มีค่าใกล้เคียงกัน แต่เปอร์เซ็นต์การเปลี่ยนแปลงมี

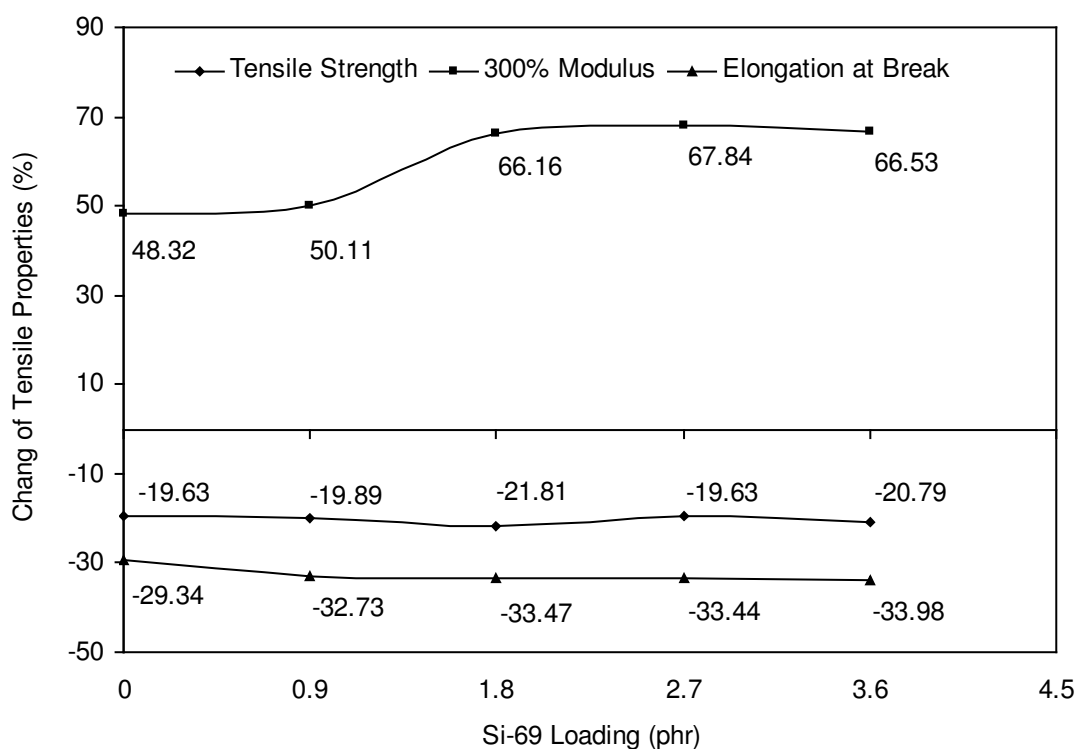
แนวโน้มนำเพิ่มขึ้นเล็กน้อยซึ่งสอดคล้องกับงานวิจัยของ (Pongdhorn *et al.*, 2005) แสดงว่ายางธรรมชาติมีข้อดีด้านการทนต่อการถูกออกซิไดซ์เมื่อใช้สาร Si-69 ในปริมาณที่มากขึ้น



รูปที่ 4.14 ความต้านทานต่อแรงดึงและ 300% มอดูลัส ของยางธรรมชาติที่ใช้ Si-69 ปริมาณต่างๆ



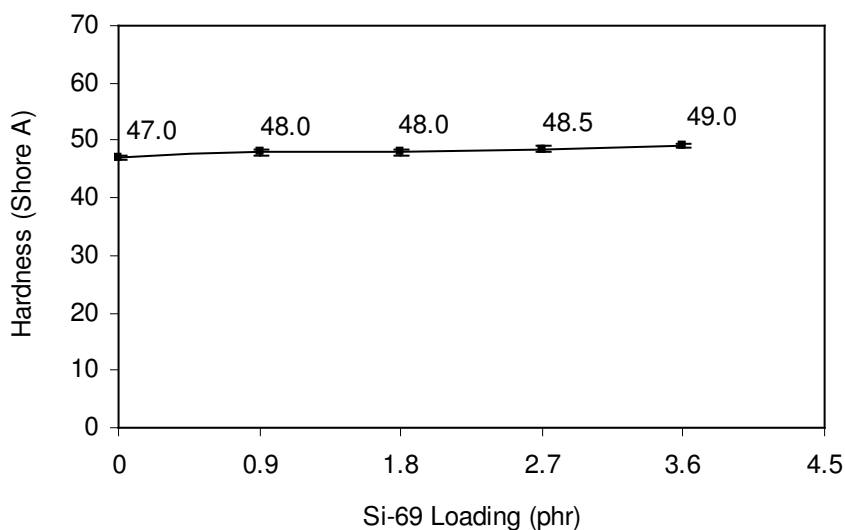
รูปที่ 4.15 ค่าระยะยืด ณ จุดขาดของยางธรรมชาติที่ใช้ Si-69 ปริมาณต่างๆ



รูปที่ 4.16 สมบัติของแรงดึงภายหลังการบ่มเร่งของยางธรรมชาติที่ใช้ Si-69 ปริมาณต่างๆ

#### 4.1.2.4 ผลการศึกษาความแข็งของยางธรรมชาติ

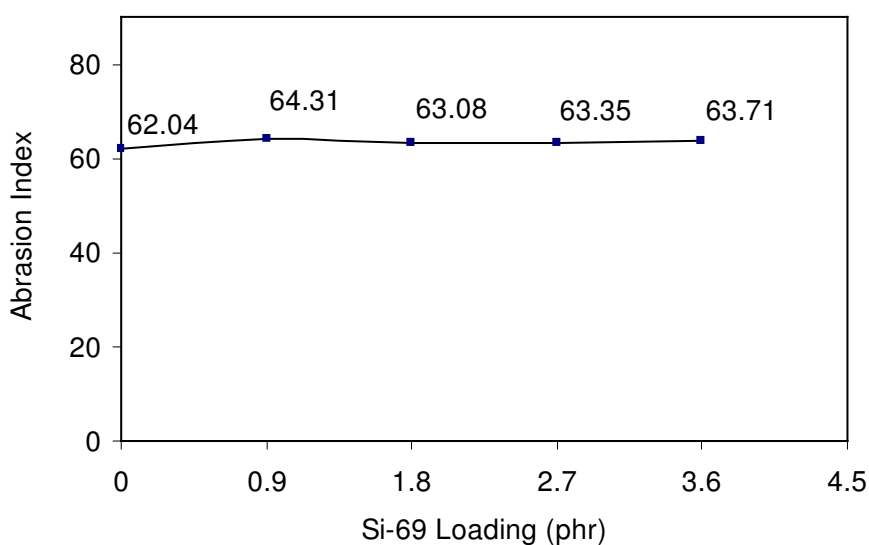
ความแข็งของยางธรรมชาติที่ใช้ Si-69 แสดงในรูปที่ 4.17 เมื่อเพิ่มปริมาณ Si-69 ในปริมาณ 0.9 ถึง 3.6 phr พบว่าค่าความแข็งไม่ได้เปลี่ยนแปลงมากนัก ค่าอยู่ที่ประมาณ 48 ถึง 49 แต่ก็มีแนวโน้มเพิ่มขึ้นเล็กน้อย ซึ่งค่าความแข็งที่เพิ่มขึ้นเนื่องมาจากการเพิ่มปริมาณ Si-69 ทำให้ยางธรรมชาติมีค่าความต้านทานต่อแรงดึง และ 300% มอดุลัส สูงขึ้นส่งผลให้ความแข็งเพิ่มขึ้นด้วยซึ่งสอดคล้องกับงานวิจัยของ (Pongdhorn *et al.*, 2005)



รูปที่ 4.17 ค่าความแข็งของยางธรรมชาติที่ใช้ Si-69 ปริมาณต่างๆ

#### 4.1.2.5 ผลการศึกษาสมบัติความต้านทานต่อการสึกหรอของยางธรรมชาติ

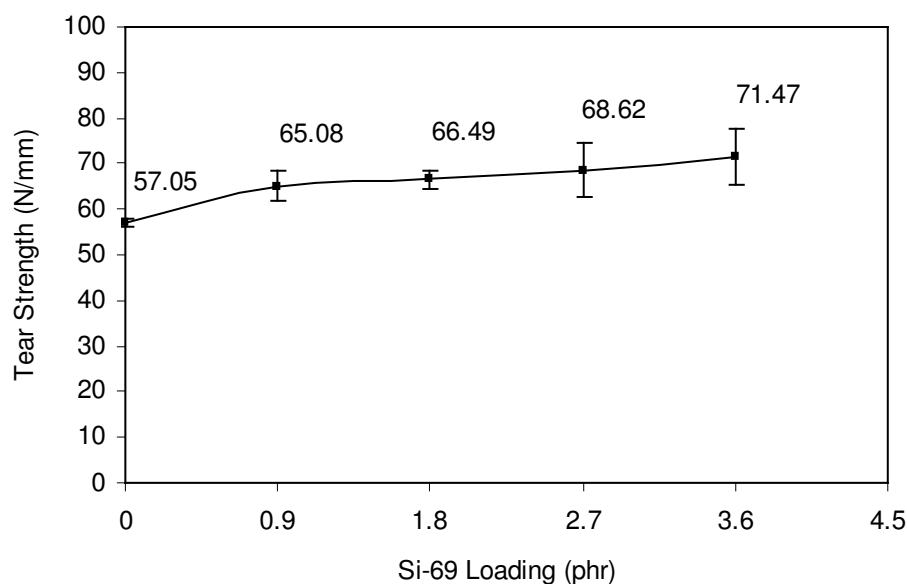
ความต้านทานต่อการสึกหรอของยางธรรมชาติใช้ Si-69 แสดงในรูปที่ 4.18 พบว่ายางธรรมชาติที่ใช้ Si-69 ในปริมาณ 0.9 phr จะมีค่าดัชนีการสึกหรอ (A.I.) สูงสุด และสูงกว่ายางธรรมชาติที่ไม่ใช้ Si-69 ส่วนยางธรรมชาติที่ใช้ Si-69 ในปริมาณ 1.8 ถึง 3.6 phr จะมีค่า A.I. ที่ใกล้เคียงกันแต่เมื่อเปรียบเทียบระหว่างยางธรรมชาติที่ใช้ Si-69 ในปริมาณ 0.9 และ 3.6 phr พบว่าค่า A.I. มีแนวโน้มลดลงเล็กน้อย



รูปที่ 4.18 ค่าดัชนีความต้านทานต่อการสึกหรอของยางธรรมชาติที่ใช้ Si-69 ปริมาณต่างๆ

#### 4.1.2.6 ผลการศึกษาสมบัติความต้านทานต่อการฉีกขาดของยางธรรมชาติ

ความต้านทานต่อการฉีกขาดของยางธรรมชาติที่ใช้ Si-69 แสดงในรูปที่ 4.19 พบว่าค่าความต้านทานต่อการฉีกขาดมีแนวโน้มสูงขึ้นเมื่อเพิ่มปริมาณ Si-69 ในปริมาณ 0.9 ถึง 3.6 phr เนื่องจาก Si-69 เป็นสารช่วยยึดระหว่างยางธรรมชาติกับซิลิกาโดยที่โครงสร้างทางเคมีของ Si-69 มี 2 ชั้น คือด้านที่มีขี้จะจับกับซิลิกาส่วนด้านที่ไม่มีขี้จะ ไปจับกับยางธรรมชาติจึงทำให้ค่าความต้านทานต่อแรงดึงและความต้านทานต่อการฉีกขาดมีค่าสูงขึ้น



รูปที่ 4.19 ค่าความต้านทานต่อการฉีกขาดของยางธรรมชาติที่ใช้ Si-69 ปริมาณต่างๆ

#### 4.1.3 อิทธิพลของสารป้องกันยางเสื่อมชนิดต่างๆ ต่อสมบัติทางกายภาพของยางธรรมชาติ

จากการศึกษาอิทธิพลของปริมาณ Si-69 ต่อสมบัติทางกายภาพของยางธรรมชาติพบว่าเมื่อเพิ่มปริมาณ Si-69 ทำให้สมบัติด้านความต้านทานต่อแรงดึงและความต้านทานต่อการฉีกขาดดีขึ้น แต่ไม่ทนต่อการบ่มเร่ง จึงเลือกใช้ Si-69 ปริมาณ 0.9 phr หรือประมาณ 3% ของซิลิกานำมาเป็นส่วนประกอบของสูตรยางเริ่มต้น ในการศึกษาอิทธิพลของสารป้องกันยางเสื่อมชนิดต่างๆ เพื่อให้ได้สมบัติด้านความต้านทานต่อสภาพแวดล้อมตามที่ต้องการ สูตรยางที่ใช้ศึกษาอิทธิพลของสารป้องกันยางเสื่อมชนิดต่างๆ แสดงในตารางที่ 4.16

ตารางที่ 4.16 สูตรยางที่ใช้ศึกษาอิทธิพลของสารป้องกันยางเสื่อมต่อสมบัติทางกายภาพของยางธรรมชาติ

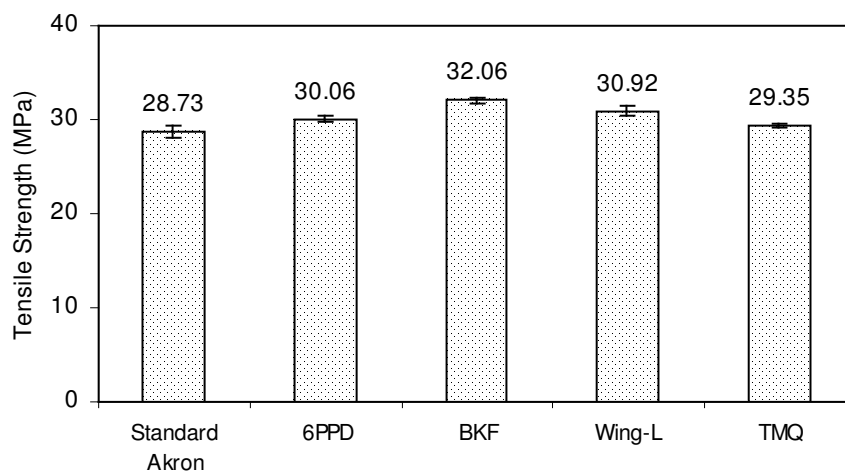
Ingredient	Loading (phr)
RSS No.3	100
Sulphur	2.5
Stearic acid	2
Zinc oxide	5
Hi-Sil 233	30
CBS	1
<b>Antioxidant*</b>	<b>1</b>
Silane	0.9
PEG 4000	1.8
Paraffin wax	1
Spindle oil	3

หมายเหตุ \* (6PPD, Wingstay-L, TMQ และ Vulkanox BKF)

เมื่อพิจารณาจากค่า  $LD_{50}$  ตามตารางที่ 2.9 แล้วมีความปลอดภัยจึงนำสารป้องกันยางเสื่อมดังกล่าวมาใช้ในการศึกษาเปรียบเทียบสมบัติทางกายภาพของยางธรรมชาติ สารป้องกันยางเสื่อมชนิด 6PPD และ TMQ เป็นสารกลุ่มเอมีน ส่วน Vulkanox BKF และ Wingstay-L เป็นสารกลุ่มฟีนอล

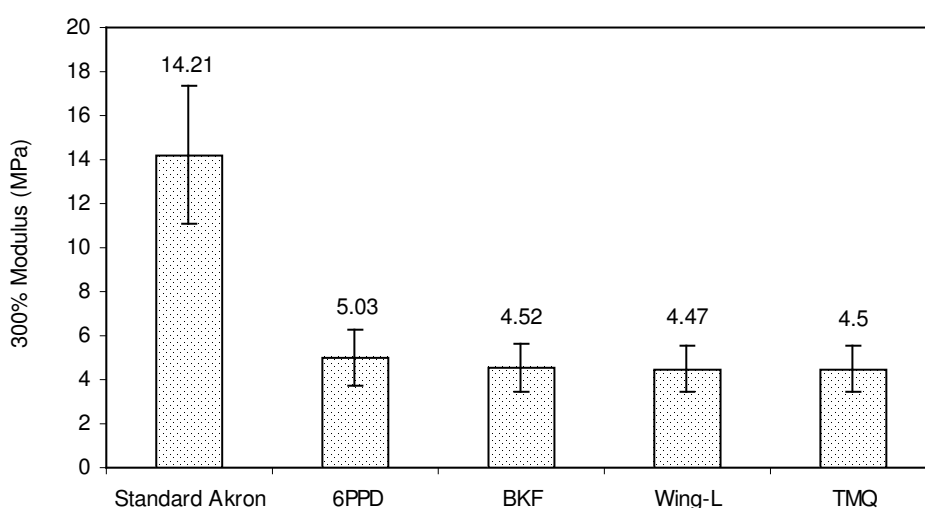
#### 4.1.3.1 ผลการศึกษาสมบัติความต้านทานต่อแรงดึงของยางธรรมชาติ

ความต้านทานต่อแรงดึงของยางธรรมชาติที่ใช้ สารป้องกันยางเสื่อมชนิด 6PPD, Vulkanox BKF, Wingstay-L และ TMQ แสดงในรูปที่ 4.20 พบว่ายางธรรมชาติที่ใช้สารป้องกันยางเสื่อมชนิด Wingstay-L 6PPD TMQ และ ยางมาตรฐานยางรถยนต์ จะมีความต้านทานต่อแรงดึงใกล้เคียงกัน ส่วนยางธรรมชาติที่ใช้สารป้องกันยางเสื่อมชนิด Vulkanox BKF จะมีค่าความต้านทานต่อแรงดึงสูงกว่าเล็กน้อย



รูปที่ 4.20 ค่าความต้านทานต่อแรงดึงของยางธรรมชาติที่ใช้สารป้องกันยางเสื่อมต่างชนิดกัน

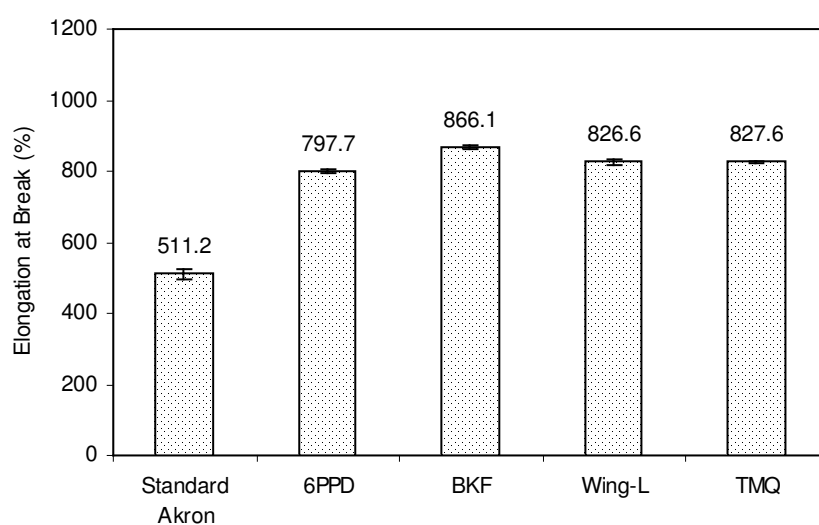
ค่า 300% มอดุลัส ของยางธรรมชาติที่ใช้สารป้องกันยางเสื่อมชนิด 6PPD, Vulcanox BKF, Wingstay-L และ TMQ แสดงในรูปที่ 4.21 พบว่าค่า 300% มอดุลัส ของยางมาตรฐานยางรถยนต์มีค่าสูงมากอยู่ที่ประมาณ 14.21 MPa เนื่องจากใช้สารเสริมแรงชนิดเขม่าดำ (N330) มากถึง 50 phr จึงส่งผลให้ยางธรรมชาติมีความแข็งและมีค่ามอดุลัสสูงขึ้น ส่วนยางธรรมชาติที่ใช้สารป้องกันยางเสื่อมชนิด Wingstay-L, TMQ, Vulcanox BKF และ 6PPD จะมีค่า 300% มอดุลัส ใกล้เคียงกัน อยู่ที่ประมาณ 4.47 ถึง 5.03 MPa โดยค่า 300% มอดุลัส ของยางธรรมชาติที่ใช้สารป้องกันยางเสื่อมชนิด 6PPD > Vulcanox BKF > TMQ > Wingstay-L ตามลำดับ



รูปที่ 4.21 ค่า 300% มอดุลัส ของยางธรรมชาติที่ใช้สารป้องกันยางเสื่อมต่างชนิดกัน

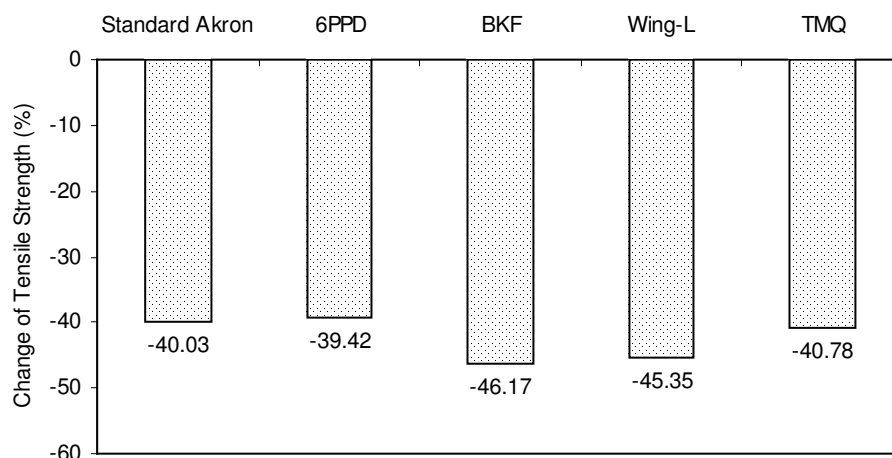


ค่าระยะยืด ณ จุดขาด ของยางธรรมชาติที่ใช้สารป้องกันยางเสื่อมชนิด 6PPD, Vulcanox BKF, Wingstay-L และ TMQ แสดงในรูปที่ 4.22 พบว่ายางธรรมชาติที่ใช้สารป้องกันยางเสื่อมดังกล่าวมีค่าระยะยืด ณ จุดขาด ที่ใกล้เคียงกัน โดยค่าระยะยืด ณ จุดขาด ของยางธรรมชาติที่ใช้สารป้องกันยางเสื่อมชนิด Vulcanox BKF > TMQ > Wingstay-L > 6PPD ตามลำดับ ส่วนยางมาตรฐานยางรถยนต์มีค่าระยะยืด ณ จุดขาด ต่ำกว่ายางธรรมชาติที่ใช้สารป้องกันยางเสื่อมชนิดต่างๆ ดังกล่าว เนื่องจากยางมาตรฐานยางรถยนต์ใช้ปริมาณสารเสริมแรงขมำค่ามากถึง 50 phr ซึ่งสารเสริมแรงจะไปลดความเป็นยางธรรมชาติลงทำให้ยางธรรมชาติยืดตัวได้ต่ำลง



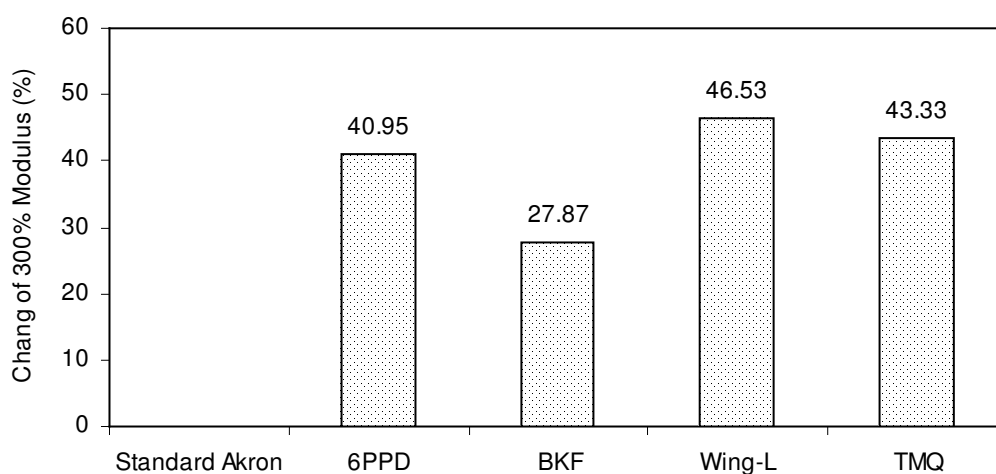
รูปที่ 4.22 ค่าระยะยืด ณ จุดขาด ของยางธรรมชาติที่ใช้สารป้องกันยางเสื่อมต่างชนิดกัน

ค่าความต้านทานต่อแรงดึงที่เปลี่ยนแปลงภายหลังการบ่มเร่ง ของยางธรรมชาติที่ใช้สารป้องกันยางเสื่อมชนิด 6PPD, Vulcanox BKF, Wingstay-L และ TMQ แสดงในรูปที่ 4.23 พบว่าค่าความต้านทานต่อแรงดึงที่เปลี่ยนแปลงภายหลังบ่มเร่ง ของยางธรรมชาติที่ใช้สารป้องกันยางเสื่อมชนิด Vulcanox BKF มีเปอร์เซ็นต์การเปลี่ยนแปลงมากกว่ายางธรรมชาติที่ใช้สารป้องกันยางเสื่อมชนิด Wingstay-L, TMQ และ 6PPD ตามลำดับ จะเห็นได้ว่าสารป้องกันยางเสื่อมชนิด 6PPD มีเปอร์เซ็นต์การเปลี่ยนแปลงน้อยที่สุด แสดงว่ายางธรรมชาติทนต่อการถูกออกซิไดซ์มากที่สุด



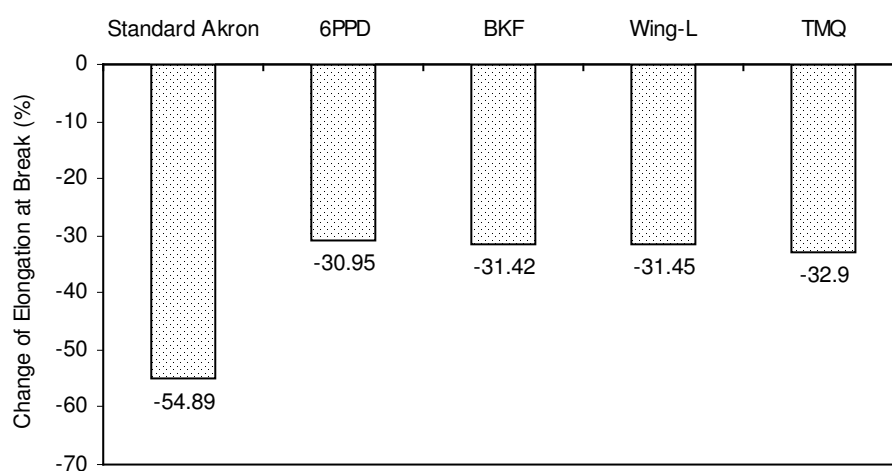
**รูปที่ 4.23** ค่าความต้านทานต่อแรงดึงที่เปลี่ยนแปลงหลังบ่มเร่งของยางธรรมชาติที่ใช้สารป้องกันยางเสื่อมต่างชนิดกัน

ค่า 300% มอดุลัส ที่เปลี่ยนแปลงหลังการบ่มเร่งของยางธรรมชาติที่ใช้สารป้องกันยางเสื่อมชนิด 6PPD, Vulcanox BKF, Wingstay-L และ TMQ แสดงในรูปที่ 4.24 พบว่ายางธรรมชาติที่ใช้สารป้องกันยางเสื่อมชนิด Wingstay-L จะมีค่า 300% มอดุลัส ที่เปลี่ยนแปลงหลังบ่มเร่งมากกว่ายางธรรมชาติที่ใช้ TMQ, 6PPD และ Vulcanox BKF ตามลำดับ ส่วนยางมาตรฐานยางรถยนต์ไม่สามารถวัดค่า 300% มอดุลัส ภายหลังบ่มเร่งได้เนื่องจากขณะดึงยางจะขาดก่อนที่จะยืดถึง 300% และภายหลังการบ่มเร่งแล้วยางธรรมชาติจะมีความแข็งมากขึ้นส่งผลให้ค่า 300% มอดุลัส มีแนวโน้มสูงขึ้นด้วย



**รูปที่ 4.24** ค่า 300% มอดุลัส ที่เปลี่ยนแปลงหลังการบ่มเร่งของยางธรรมชาติที่ใช้สารป้องกันยางธรรมชาติเสื่อมต่างชนิดกัน ที่อุณหภูมิ 100 °C เวลา 72 hr

ค่าระยะยืด ณ จุดขาด ที่เปลี่ยนแปลงหลังบ่มเร่งของยางธรรมชาติที่ใช้สารป้องกันยางเสื่อมชนิด 6PPD, Vulcanox BKF, Wingstay-L และ TMQ แสดงในรูปที่ 4.25 พบว่าค่าระยะยืด ณ จุดขาด ที่เปลี่ยนแปลงหลังบ่มเร่ง ของยางมาตรฐานยางรถยนต์มีการเปลี่ยนแปลงมากที่สุด ส่วนยางธรรมชาติที่ใช้สารป้องกันยางเสื่อมชนิด 6PPD Wingstay-L, TMQ และ Vulcanox BKF พบว่ามีค่าใกล้เคียงกัน แสดงว่าสารป้องกันยางเสื่อมชนิดต่างๆ ดังกล่าวไม่ได้ส่งผลต่อค่าระยะยืด ณ จุดขาด ที่เปลี่ยนแปลงหลังบ่มเร่ง ของยางธรรมชาติมากนัก



รูปที่ 4.25 ค่าระยะยืด ณ จุดขาดที่เปลี่ยนแปลงหลังการบ่มเร่ง ของยางธรรมชาติที่ใช้สารป้องกันยางเสื่อมต่างชนิดกัน ที่อุณหภูมิ 100 °C เวลา 72 hr

#### 4.1.3.2 ผลการศึกษาสมบัติความต้านทานต่อโอโซนของยางธรรมชาติ

ความต้านทานต่อโอโซน ของยางธรรมชาติที่ใช้สารป้องกันยางเสื่อมชนิด 6PPD, Vulcanox BKF, Wingstay-L และ TMQ แสดงในรูปที่ 4.26 และ 4.27 พบว่ายางธรรมชาติที่ใช้สารป้องกันยางเสื่อมชนิด Vulcanox BKF และ Wingstay-L ไม่พบรอยแตกแต่สีของยางธรรมชาติเปลี่ยนแปลงจากเดิมเล็กน้อย ส่วนยางธรรมชาติที่ใช้สารป้องกันยางเสื่อมชนิด TMQ พบรอยแตกขนาดเท่าปลายปากกามากกว่า 10 จุด สีของยางธรรมชาติก็เปลี่ยนจากเดิมเล็กน้อย ยางธรรมชาติที่ใช้สารป้องกันยางเสื่อมชนิด 6PPD พบรอยแตกขนาดเท่าปลายเข็มมากกว่า 10 จุด และสีของยางธรรมชาติก็เปลี่ยนเป็นสีน้ำตาลดำอย่างเห็นได้ชัด ส่วนยางมาตรฐานยางรถยนต์พบรอยแตกขนาดความยาวประมาณ 2 mm มากกว่า 10 จุด



Akron 6PPD BKF Wing-L TMQ

รูปที่ 4.26 ลักษณะยางธรรมชาติก่อนอบด้วยตู้อบโอโซนของยางธรรมชาติที่ใช้สารป้องกันยางเสื่อมต่างชนิดกัน ที่ความเข้มข้น โอโซน 25 pphm อุณหภูมิ 40 °C เวลา 72 hr



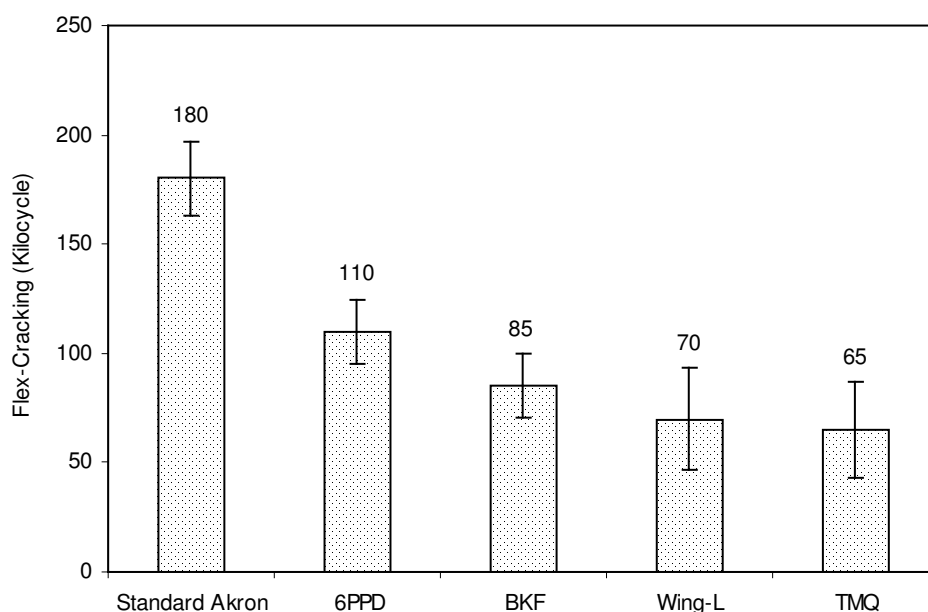
Akron 6PPD BKF Wing-L TMQ

รูปที่ 4.27 ลักษณะยางธรรมชาติภายหลังจากอบด้วยตู้อบโอโซนของยางธรรมชาติที่ใช้สารป้องกันยางเสื่อมต่างชนิดกันที่ความเข้มข้น โอโซน 25 pphm อุณหภูมิ 40 °C เวลา 72 hr

#### 4.1.3.3 ผลการศึกษาสมบัติความต้านทานต่อการหักงอของยางธรรมชาติ

ความต้านทานต่อการหักงอ ของยางธรรมชาติที่ใช้สารป้องกันยางเสื่อมชนิด 6PPD, Vulcanox BKF, Wingstay-L และ TMQ แสดงในรูปที่ 4.28 พบว่ายางมาตรฐานยางรถยนต์ มีค่าความต้านทานต่อการหักงอสูงมากอยู่ที่ประมาณ 180 Kilocycle เหตุที่ยางมาตรฐานยางรถยนต์ มีค่าความต้านทานต่อการหักงอสูง อาจจะเป็นผลมาจากใช้สารเสริมแรงชนิดเขม่าดำเกรด (N330)

เนื่องจากเขม่าดำเป็นสารเสริมแรงชนิดเสริมประสิทธิภาพ และเป็นสารอินทรีย์เช่นเดียวกับยางธรรมชาติจึงผสมเข้ากันได้ดีทำให้มีสมบัติด้านความต้านทานต่อการหักงอ ส่วนชนิดของสารป้องกันยางเสื่อมก็มีอิทธิพลต่อค่าความต้านทานต่อการหักงอของยางธรรมชาติ โดยค่าความต้านทานต่อการหักงอของยางธรรมชาติที่ใช้สารป้องกันยางเสื่อมชนิด 6PPD > Vulcanox BKF > Wingstay-L > TMQ ตามลำดับ



รูปที่ 4.28 ค่าความต้านทานต่อการหักงอของยางธรรมชาติที่ใช้สารป้องกันยางเสื่อมต่างชนิดกัน

#### 4.1.3.4 ผลการศึกษาความต้านทานต่อการขยายตัวของรอยแตก ของยางธรรมชาติที่ใช้สารป้องกันยางเสื่อมต่างชนิดกัน

ความต้านทานต่อการขยายตัวของรอยแตก ของยางธรรมชาติที่ใช้สารป้องกันยางเสื่อมชนิด 6PPD, Vulcanox BKF, Wingstay-L และ TMQ แสดงในตารางที่ 4.17 พบว่ามาตรฐานยางรถยนต์ มีค่าความต้านทานต่อการขยายตัวของรอยแตกสูงสุด เมื่อเปรียบเทียบค่าความต้านทานต่อการขยายตัวของรอยแตกของยางธรรมชาติที่ใช้สารป้องกันยางเสื่อมชนิดต่างๆ พบว่าค่าความต้านทานต่อการขยายตัวของรอยแตกของยางธรรมชาติที่ใช้ Vulcanox BKF จะมีสูงสุด และยางธรรมชาติที่ใช้ Wingstay-L จะมีค่าต่ำสุด ส่วนยางธรรมชาติที่ใช้ 6PPD และ TMQ จะมีค่าความต้านทานต่อการขยายตัวของรอยแตกไม่แตกต่างกัน จากการทดลองพบว่าสารป้องกันยางเสื่อมชนิด 6PPD และ BKF ให้สมบัติโดยรวมดีที่สุด

ตารางที่ 4.17 ค่าความต้านทานต่อการขยายตัวของรอยแตกของยางธรรมชาติที่ใช้สารป้องกันยาง  
เสื่อมต่างชนิดกัน

ช่วงการขยายตัว ของรอยแตก	จำนวนรอบของการขยายตัวของรอยแตก (Kilocycle)				
	Standard Akron	BKF	6PPD	TMQ	Wing-L
2-4 mm	6 ± 0.06	3 ± 0.67	3 ± 0.12	3 ± 0.15	3 ± 0.23
4-8 mm	114 ± 0.5	10 ± 0.15	10 ± 0.15	10 ± 0.21	7 ± 0.25
8-12 mm	>114	16 ± 0.66	15 ± 0.29	15 ± 0.17	14 ± 0.12

#### 4.1.4 ผลการศึกษาอิทธิพลของปริมาณ Paraffin wax ต่อสมบัติด้านความต้านทานต่อโอโซน

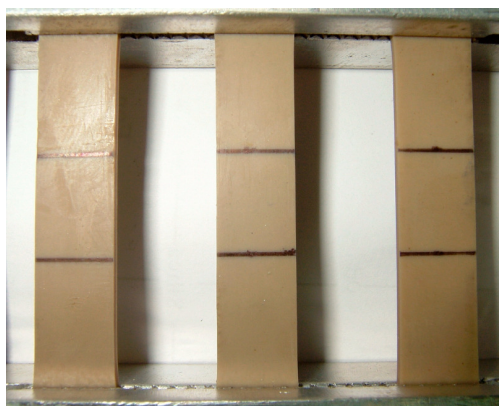
จากการศึกษาอิทธิพลของสารป้องกันยางเสื่อม พบว่าสารป้องกันยางเสื่อมชนิด 6PPD ให้สมบัติที่เด่นด้านความต้านทานต่อการหักงอ ทนทานต่อการบ่มเร่ง แต่ความต้านทานต่อโอโซน ต่ำกว่าสารป้องกันยางเสื่อมชนิด Vulcanox BKF และ Wingstay-L อย่างไรก็ตามสมบัติด้านความต้านทานต่อโอโซนสามารถปรับปรุงได้โดยการใส่ Paraffin wax ดังนั้นผู้วิจัยจึงได้เลือกสารป้องกันยางเสื่อมชนิด 6PPD เพื่อเป็นส่วนผสมในยางธรรมชาติและทำศึกษาอิทธิพลของปริมาณ Paraffin wax ต่อสมบัติความต้านทานต่อโอโซน สูตรยางที่ใช้ศึกษาอิทธิพลของปริมาณ Paraffin wax ได้แสดงในตารางที่ 4.18

ตารางที่ 4.18 สูตรที่ใช้ศึกษาอิทธิพลของปริมาณ Paraffin wax ต่อสมบัติความต้านทานต่อโอโซน

Ingredient	Loading (phr)
RSS No.3	100
Sulphur	2.5
Stearic acid	2
Zinc oxide	5
Hi-Sil 233	30
CBS, 6PPD	1
Silane	0.9
PEG 4000	1.8
<b>Paraffin wax</b>	<b>1, 2 และ 3</b>
Spindle oil	3

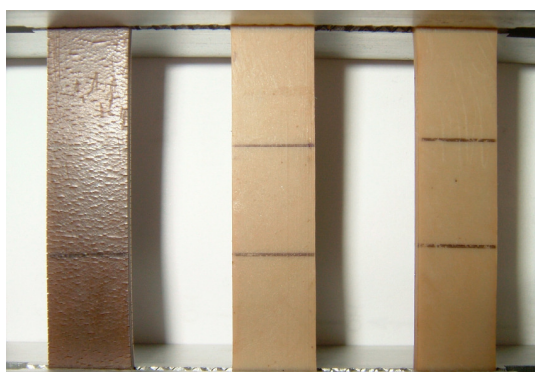
หมายเหตุ สารเสริมแรง Hi-Sil 233 ใช้ในรูปของมาสเตอร์แบทช์

ความต้านทานต่อโอโซนของยางธรรมชาติที่ใช้ Paraffin wax จาก 1- 3 phr แสดงในรูปที่ 4.29 และ 4.30 เมื่อเพิ่มปริมาณ Paraffin wax พบว่ายางธรรมชาติทนต่อโอโซนดีขึ้น แต่ถ้าใส่ Paraffin wax มากเกิน 2 phr จะเกิดการซีมออกมาที่ผิวของชิ้นงาน จากรูปที่ 4.30 จะเห็นได้ว่ายางธรรมชาติที่ใช้ปริมาณ Paraffin wax 1 phr หลังจากอบด้วยตู้อบโอโซนแล้ว พบว่ายางธรรมชาติมีสีเข้มขึ้นและเกิดรอยแตกขนาดเท่าจุดปลายเข็มมากกว่า 10 จุด ส่วนยางธรรมชาติที่ใช้ Paraffin wax ปริมาณ 2 phr และ 3 phr พบว่าไม่เกิดรอยแตกและสีของยางธรรมชาติแทบจะไม่เปลี่ยนแปลงเลย จึงเลือกใช้ Paraffin wax ปริมาณ 2 phr เป็นส่วนประกอบในสูตรยาง



Wax 1 phr Wax 2 phr Wax 3 phr

รูปที่ 4.29 ลักษณะของยางธรรมชาติก่อนอบด้วยตู้อบโอโซนของยางธรรมชาติที่ใช้ Paraffin wax ปริมาณต่างกันที่ความเข้มข้น โอโซน 25 pphm อุณหภูมิ 40 °C เวลา 72 hr



Wax 1 phr Wax 2 phr Wax 3 phr

รูปที่ 4.30 ลักษณะของยางธรรมชาติภายหลังการอบด้วยตู้อบโอโซนของยางธรรมชาติที่ใช้ Paraffin Wax ปริมาณต่างกันที่ความเข้มข้น โอโซน 25 pphm อุณหภูมิ 40 °C เวลา 72 hr

#### 4.1.5 ผลการศึกษาอิทธิพลของสัดส่วนยางผสม EPDM/NR ต่อสมบัติทางกายภาพของยางผสม

จากการศึกษาอิทธิพลของปริมาณ Paraffin wax ต่อสมบัติความต้านทานต่อโอโซนพบว่าต้องใส่ปริมาณ Paraffin wax มากกว่า 2 phr ขึ้นไปจึงจะทำให้ยางธรรมชาติทนต่อโอโซนแต่การเพิ่มปริมาณ Paraffin wax มากขึ้นจะทำให้ Paraffin wax เกิดการซึมออกมาที่ผิวของชิ้นงานด้วยเหตุนี้ผู้วิจัยจึงได้ทำการศึกษาอิทธิพลของสัดส่วนยางผสม EPDM/NR ต่อสมบัติทางกายภาพของยางผสมเพื่อพัฒนาเป็นสูตรยางชั้นผิวหน้าต่อไป สูตรยางที่ใช้ศึกษาอิทธิพลของสัดส่วนยางผสม EPDM/NR แสดงในตารางที่ 4.19

ตารางที่ 4.19 สูตรยางที่ใช้ศึกษาอิทธิพลของสัดส่วนยางผสม EPDM/NR ต่อสมบัติทางกายภาพของยางธรรมชาติ

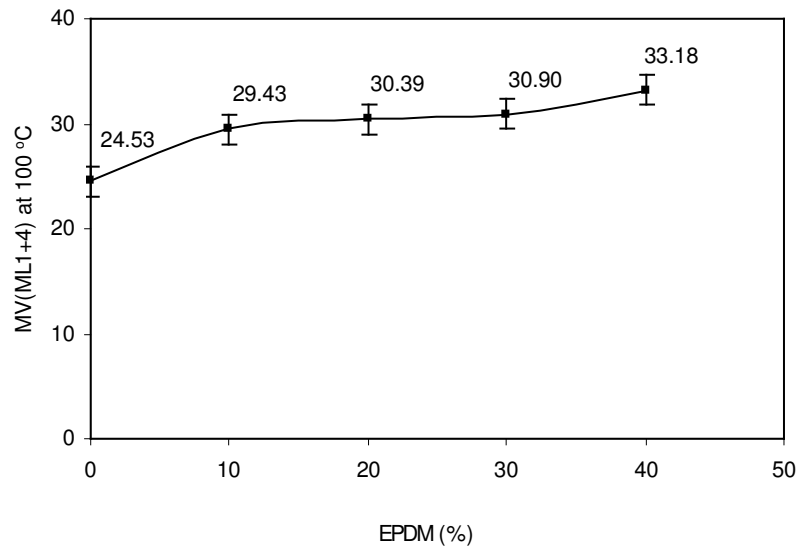
Ingredient	Loading (phr)				
	0	10	20	30	40
EPDM	0	10	20	30	40
RSS No.3	100	90	80	70	60
Sulphur	2.5	2.5	2.5	2.5	2.5
CBS	1	1	1	1	1
Stearic acid	2	2	2	2	2
Zinc oxide	5	5	5	5	5
Hi-Sil 233	30	30	30	30	30
6PPD	1	1	1	1	1
Si-69	0.9	0.9	0.9	0.9	0.9
PEG 4000	1.8	1.8	1.8	1.8	1.8
Spindle oil	3	3	3	3	3
Paraffin wax	1	1	1	1	1

หมายเหตุ สารเสริมแรง Hi-Sil 233 ใช้ในรูปของมาสเตอร์แบทช์

##### 4.1.5.1 ผลการศึกษาความหนืดมูนีของยางผสม

ความหนืดมูนีของยางผสม EPDM/NR แสดงในรูปที่ 4.31 พบว่าที่ปริมาณยาง EPDM 10-30 เปอร์เซ็นต์ ค่าความหนืดมูนีจะมีค่าใกล้เคียงกัน แต่เมื่อเพิ่มปริมาณยาง EPDM เป็น 40 เปอร์เซ็นต์ พบว่าค่าความหนืดมูนีของยางคอมปาวด์มีค่าสูงขึ้น

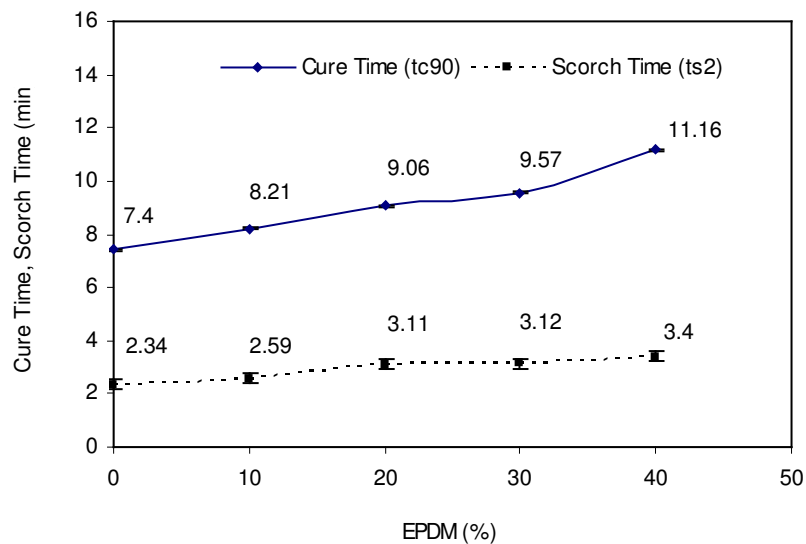




รูปที่ 4.31 ค่าความหนืดมูนนี่ของยางผสม

#### 4.1.5.2 ผลการศึกษาลักษณะการวัลคาไนซ์ของยางผสม

ลักษณะการวัลคาไนซ์ของยางผสมที่ใช้ปริมาณยาง EPDM 10-40 เปอร์เซ็นต์ แสดงในรูปที่ 4.32 พบว่าเมื่อเพิ่มปริมาณยาง EPDM จะเห็นได้ว่าเวลาการวัลคาไนซ์ ( $t_{c90}$ ) และเวลายางคอมปาวด์สุกก่อนกำหนด ( $t_{s2}$ ) มีแนวโน้มสูงขึ้น



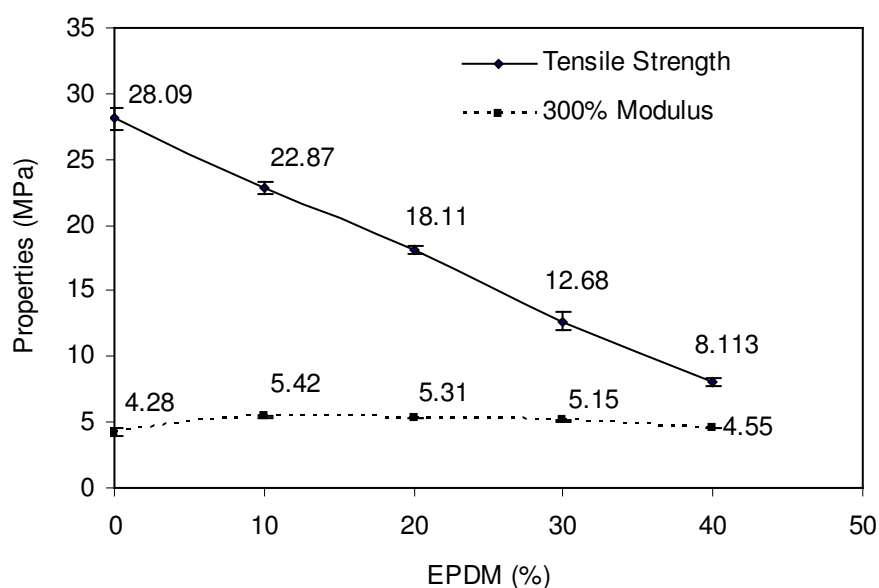
รูปที่ 4.32 เวลาวัลคาไนซ์และเวลายางคอมปาวด์สุกก่อนกำหนด ของยางผสมที่อุณหภูมิ 150 °C

เวลา 30 min

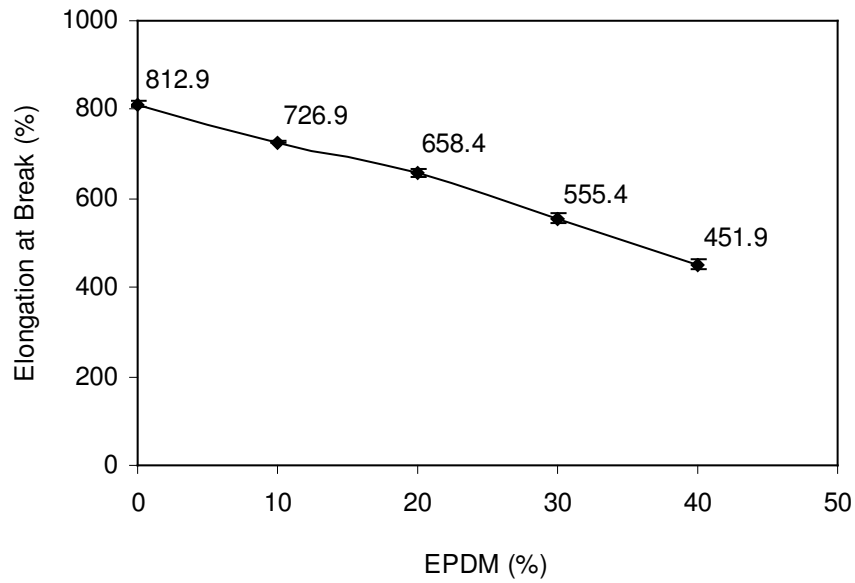
#### 4.1.5.3 ผลการศึกษาสมบัติความต้านทานต่อแรงดึงของยางผสม

ความต้านทานต่อแรงดึงของยางผสม EPDM/NR แสดงในรูปที่ 4.33 ถึง 4.35 พบว่าค่าความต้านทานต่อแรงดึง, 300% มอดุลัส และ ระยะยืด ณ จุดขาด มีแนวโน้มลดลงเมื่อเพิ่มปริมาณยาง EPDM เนื่องจากยางธรรมชาติ (NR) มีสมบัติเด่นด้านความต้านทานต่อแรงดึง ส่วนยางเอททิลีนโพรพิลีนไดอีน (EPDM) มีสมบัติด้อยด้านความต้านทานต่อแรงดึง เมื่อนำยางทั้งสองมาผสมกัน สมบัติที่ได้จะขึ้นอยู่กับปริมาณสัดส่วนของยางทั้งสองชนิด

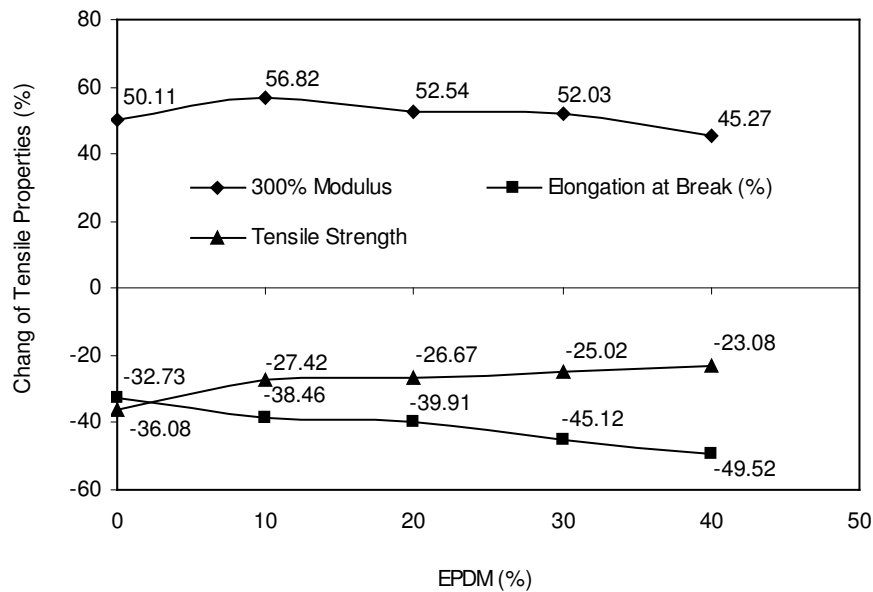
สมบัติความต้านทานต่อแรงดึงที่เปลี่ยนแปลงหลังการบ่มแรงพบว่าเมื่อเพิ่มยาง EPDM ในปริมาณที่มากขึ้น เป็นที่น่าสังเกตว่าเปอร์เซ็นต์การเปลี่ยนแปลงของค่า ความต้านทานต่อแรงดึง และ 300% มอดุลัส มีแนวโน้มลดลง (ค่าคิดลบน้อยลง) บ่งบอกถึงข้อเด่นด้านการทนต่อการถูกออกซิไดซ์ แต่ค่า ระยะยืด ณ จุดขาด ที่เปลี่ยนแปลงหลังการบ่มแรงมีแนวโน้มสูงขึ้น (ค่าคิดลบมากขึ้น) แสดงว่ายางผสมมีข้อด้อยด้าน ระยะยืด ณ จุดขาด หลังการบ่มแรง



รูปที่ 4.33 ค่าความต้านทานต่อแรงดึงและ 300% มอดุลัส ของยางผสม



รูปที่ 4.34 ค่าระยะยืด ณ จุดขาด ของยางผสม

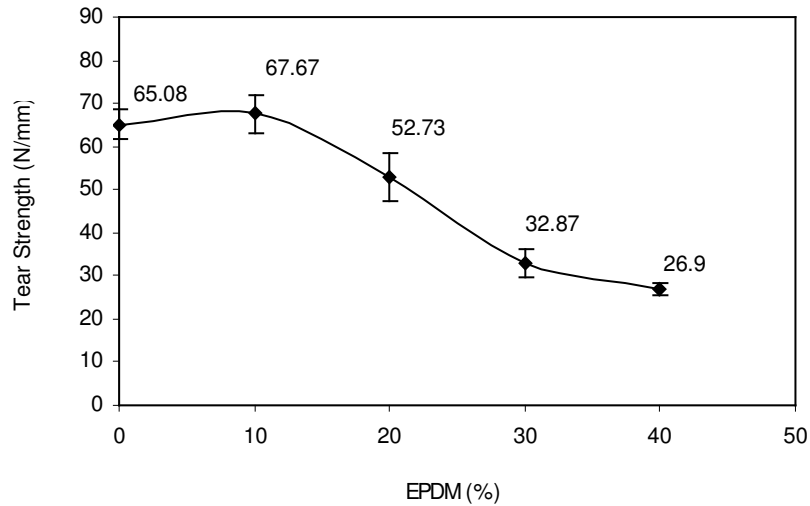


รูปที่ 4.35 สมบัติของแรงดึงที่เปลี่ยนแปลงหลังการบ่มแรงของยางผสม

#### 4.1.5.4 ผลการศึกษาสมบัติความต้านทานต่อการฉีกขาดของยางผสม

ความต้านทานต่อการฉีกขาดของยางผสม EPDM/NR แสดงในรูปที่ 4.36 พบว่าค่าความต้านทานต่อการฉีกขาดมีแนวโน้มลดลง เมื่อเพิ่มปริมาณยาง EPDM แต่ที่ปริมาณสัดส่วนยาง 10% EPDM จะให้ค่าความต้านทานต่อการฉีกขาดสูงสุดและสูงพอๆ กับยาง 0% EPDM และ

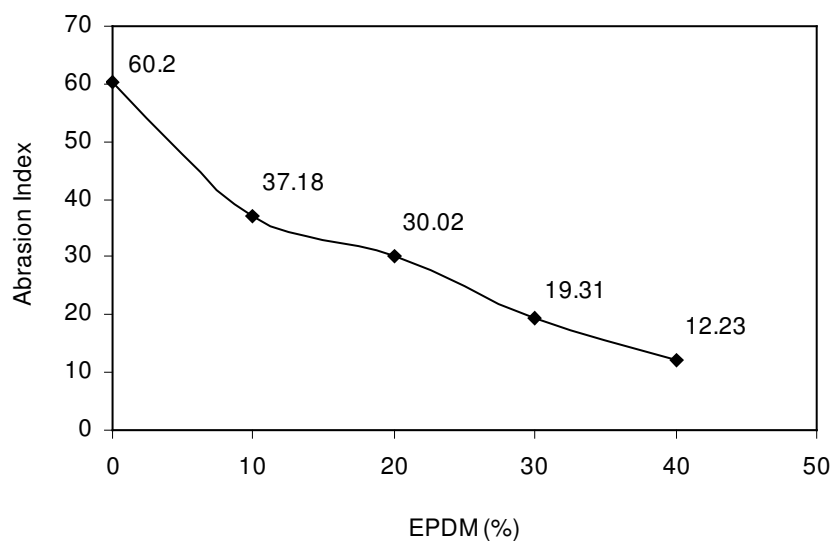
เมื่อเพิ่มปริมาณสัดส่วนยาง 20% EPDM ขึ้นไปจะเห็นได้ว่าค่าความต้านทานต่อการฉีกขาดจะลดลงอย่างเห็นได้ชัด



รูปที่ 4.36 ค่าความต้านทานต่อการฉีกขาดของยางผสม

#### 4.1.5.5 ผลการศึกษาความต้านทานต่อการสึกหรอของยางธรรมชาติที่ใช้อย่าง EPDM ในปริมาณต่างๆ

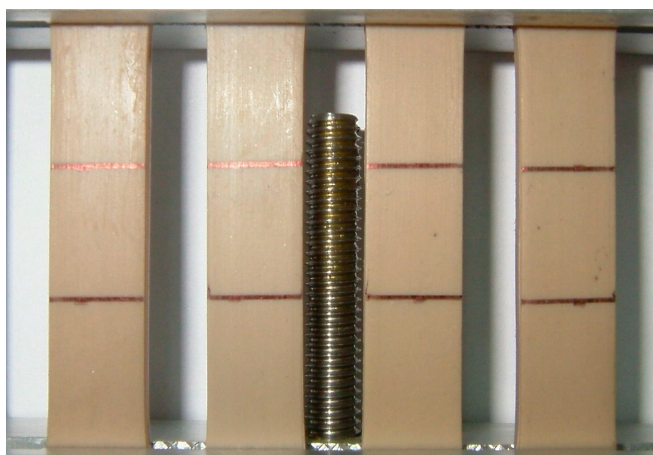
ความต้านทานต่อการสึกหรอของยางผสม EPDM/NR แสดงในรูปที่ 4.37 พบว่าเมื่อเพิ่มปริมาณยาง EPDM จะเห็นได้ว่าค่าดัชนีการสึกหรอ (A.I.) มีแนวโน้มลดลงอย่างเห็นได้ชัด แสดงว่ายางผสมที่มีปริมาณยาง EPDM มากขึ้นจะไม่ทนทานต่อการขัดถู



รูปที่ 4.37 ค่าดัชนีความต้านทานต่อการสึกหรอของยางผสม

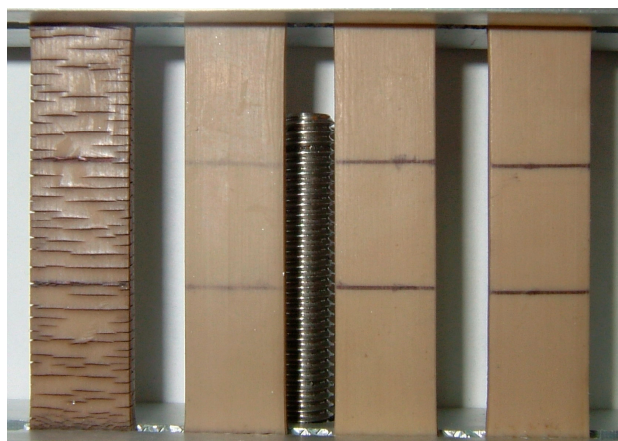
#### 4.1.5.6 ผลการศึกษาสมบัติความต้านทานต่อโอโซนของยางผสม

ความต้านทานต่อโอโซนของยางผสม EPDM/NR แสดงในรูปที่ 4.38 และ 4.39 พบว่ายางผสมที่ใช้ปริมาณยาง 10% EPDM จะเห็นได้ว่ายางผสมจะเกิดรอยแตกในทิศทางตั้งฉากกับทิศทางการดึง และสีของยางผสมก็เปลี่ยนเข้มขึ้นอย่างเห็นได้ชัด เนื่องจากการทดสอบใช้ความเข้มโอโซน 50 pphm จึงเห็นการเปลี่ยนแปลงอย่างชัดเจน ส่วนยางผสมที่ใช้ปริมาณยาง 20% EPDM ขึ้นไปพบว่ายางผสมจะไม่เกิดรอยแตกแต่สีจะเปลี่ยนเข้มขึ้นเล็กน้อย



EPDM 10% EPDM 20% EPDM 30% EPDM 40%

รูปที่ 4.38 ลักษณะยางผสมก่อนอบด้วยตู้อบโอโซน

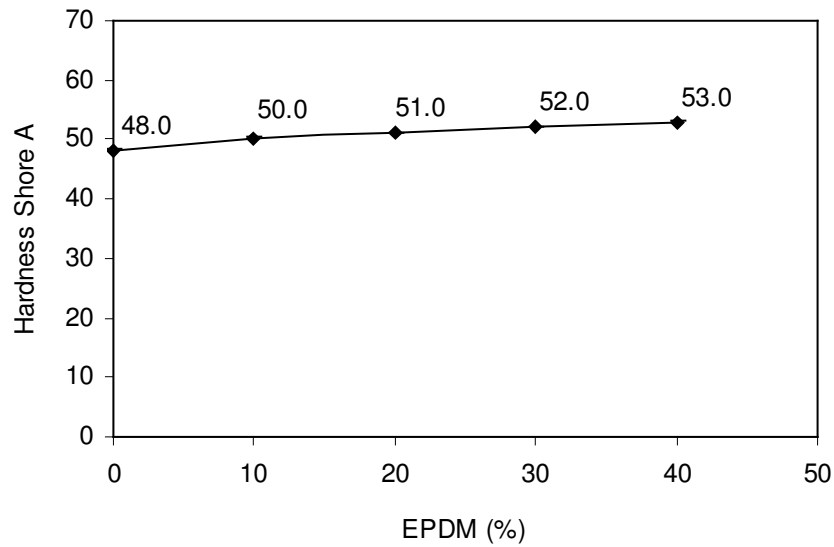


EPDM 10% EPDM 20% EPDM 30% EPDM 40%

รูปที่ 4.39 ลักษณะยางผสมภายหลังจากอบด้วยตู้อบโอโซน

#### 4.1.5.7 ผลการศึกษาความแข็งของยางผสม

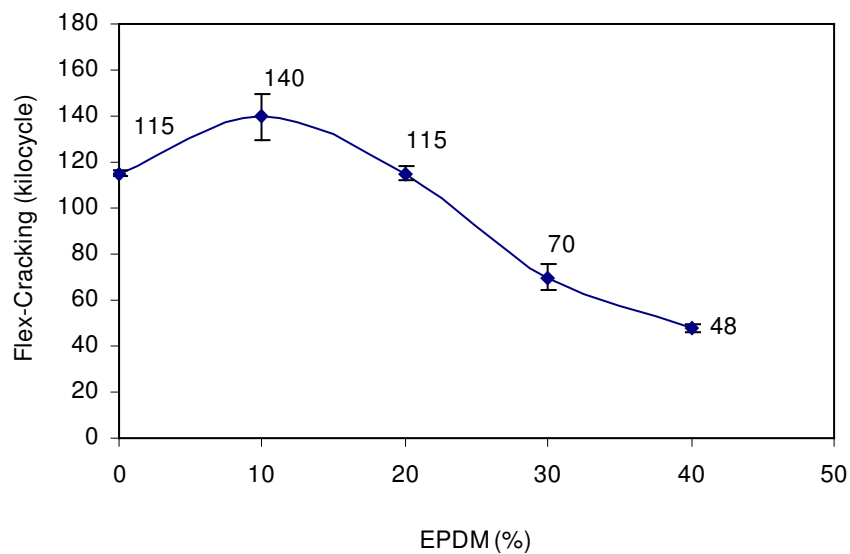
ความแข็งของยางผสม EPDM/NR แสดงในรูปที่ 4.40 เมื่อเพิ่มปริมาณยาง EPDM ในปริมาณที่มากขึ้นพบว่าค่าความแข็งมีแนวโน้มเพิ่มขึ้น



รูปที่ 4.40 ค่าความแข็งของยางผสม

#### 4.1.5.8 ผลการศึกษาความต้านทานต่อการหักงอของยางผสม

ความต้านทานต่อการหักงอของยางผสม EPDM/NR แสดงในรูปที่ 4.41 พบว่าค่าความต้านทานต่อการหักงอมีแนวโน้มลดลง เมื่อเพิ่มปริมาณยาง EPDM แต่ที่ปริมาณยาง 10% EPDM จะให้ค่าความต้านทานต่อการหักงอสูงสุด และสูงกว่ายางธรรมชาติที่ไม่มีส่วนผสมของยาง EPDM เมื่อเพิ่มปริมาณยาง 20% EPDM ขึ้นไปจะเห็นได้ว่าค่าความต้านทานต่อการหักงอจะลดลงอย่างเห็นได้ชัด



รูปที่ 4.41 ค่าความต้านทานต่อการหักงอของยางผสม

#### 4.1.5.9 ผลการศึกษาสมบัติความต้านทานต่อการขยายตัวของรอยแตกของยางผสม

ความต้านทานต่อการขยายตัวของรอยแตกของยางผสม EPDM/NR แสดงในตารางที่ 4.20 พบว่าค่าความต้านทานต่อการขยายตัวของรอยแตกของยางผสมที่ใช้ยาง EPDM จะมีค่าสูงกว่ายางธรรมชาติที่ไม่ผสมยาง EPDM แต่ความต้านทานต่อการขยายตัวของรอยแตกมีแนวโน้มลดลงเมื่อเพิ่มยาง EPDM มากขึ้น

ตารางที่ 4.20 ค่าการขยายตัวของรอยแตกของยางผสม EPDM/NR

ช่วงการขยายตัวของรอยแตก	จำนวนรอบของการขยายตัวของรอยแตก (Kilocycle)				
	EPDM 0%	EPDM 10%	EPDM 20%	EPDM 30%	EPDM 40%
2-4 mm	3 ± 0.1	13 ± 0.1	5 ± 0.15	5 ± 0.17	5 ± 0.5
4-8 mm	13 ± 0.5	150 ± 0.3	90 ± 0.44	32 ± 0.69	27 ± 0.52
8-12 mm	20 ± 0.76	>150	>150	150 ± 0.77	130 ± 0.12

การใช้ยางผสม EPDM/NR ดีในแง่ของผลิตภัณฑ์ที่ต้องการสมบัติด้านความต้านทานต่อสภาพแวดล้อม แต่เมื่อเพิ่มปริมาณยาง EPDM พบว่าสมบัติอื่นๆ มีแนวโน้มลดลงเพราะฉะนั้นจะต้องเลือกสัดส่วนยางผสมให้เหมาะสมกับผลิตภัณฑ์ยาง จากการทดลองพบว่าที่ปริมาณยาง 20% EPDM จะให้สมบัติที่ดีที่สุดสำหรับผลิตภัณฑ์ถุงเก็บน้ำ จากลักษณะการใช้งานของถุงเก็บน้ำจะต้องมีการยก โยน และซักล้าง ดังนั้นยางชั้นผิวหน้าจะต้องมีสมบัติ ความต้านทานต่อแรงดึง ความต้านทานต่อการฉีกขาด ความต้านทานต่อการขีดถู และการติดประสานกับผ้าใบไนลอน ซึ่งเมื่อใช้ยางธรรมชาติจะให้สมบัติดังกล่าว ส่วนยางผสม EPDM/NR จะให้สมบัติความต้านทานต่อสภาพแวดล้อม ความต้านทานต่อการหักงอ และความต้านทานต่อการขยายตัวของรอยแตก ด้วยเหตุนี้ผู้วิจัยจึงเลือกใช้ยางธรรมชาติเพียงอย่างเดียวในการนำมาเป็นสูตรยางชั้นผิวหน้า สูตรยางชั้นผิวหน้าที่เหมาะในการทำถุงเก็บน้ำแสดงไว้ในตารางที่ 4.21

ตารางที่ 4.21 สูตรยางชั้นผิวหน้าที่เหมาะสมที่สุดที่จะนำไปทำเป็นผลิตภัณฑ์ถุงเก็บน้ำ

Ingredient	Loading (phr)
RSS No.3	100
Sulphur	2.5
Stearic acid	2
Zinc oxide	5
Hi Sil 233	30
CBS	1
TMTM	0.2
6PPD	1
Silane	0.9
PEG 4000	1.8
Paraffin wax	2
Spindle oil	3

#### 4.2 ผลการศึกษาการพัฒนาสูตรยางระหว่างชั้นผ้าใบ

การศึกษานิทธิพลของชนิดและปริมาณสารเพิ่มความเหนียว (Tackifier) ต่อสมบัติการยึดติดระหว่างชั้นของผ้าใบ เพื่อเป็นข้อมูลในการตัดสินใจเลือกใช้ชนิดและปริมาณของสารเพิ่มความเหนียวในการพัฒนาเป็นสูตรยางระหว่างชั้นผ้าใบ เพื่อเป็นตัวติดประสานระหว่างชั้นผ้าใบและสูตรยางชั้นผิวหน้า ในการทำผลิตภัณฑ์ถุงเก็บน้ำ สารเพิ่มความเหนียวที่ใช้ศึกษา คือ คูมาโรนเรซินและชันสน สูตรยางที่ใช้ศึกษานิทธิพลของชนิดและปริมาณสารเพิ่มความเหนียวได้แสดงไว้ในตารางที่ 4.22



ตารางที่ 4.22 สูตรยางที่ใช้ศึกษาอิทธิพลของชนิดและปริมาณสารเพิ่มความเหนียว ต่อสมบัติการติดประสานระหว่างชั้นของผ้าใบลอนและผ้าฝ้าย

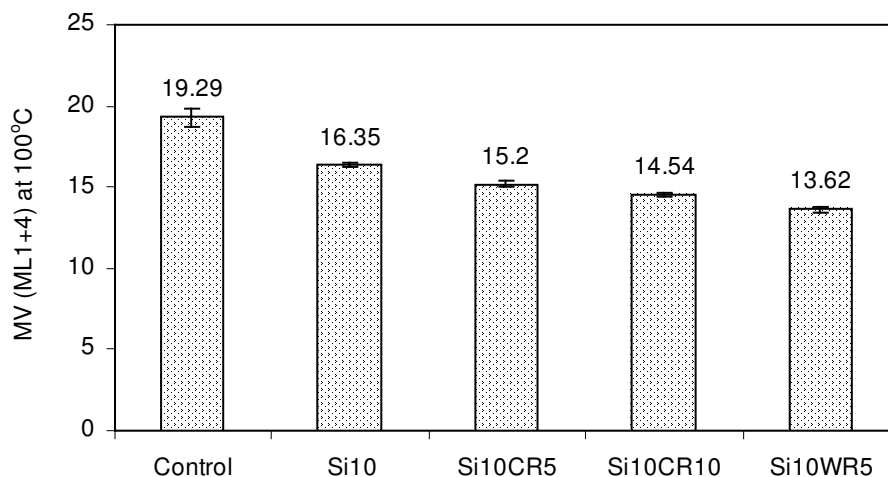
Ingredient	Loading (phr)				
	Control	Si10	Si10CR5	Si10CR10	Si10WR5
RSS No.3	100	100	100	100	100
Sulphur	1.5	1.5	1.5	1.5	1.5
Stearic acid	2	2	2	2	2
Zinc oxide	5	5	5	5	5
<b>Hi-Sil 233</b>	-	<b>10</b>	<b>10</b>	<b>10</b>	<b>10</b>
CBS	1	1	1	1	1
6PPD	1	1	1	1	1
<b>Coumarone Resin</b>	-	-	<b>5</b>	<b>10</b>	-
<b>Wood Rosin</b>	-	-	-	-	<b>5</b>
PEG 4000	-	0.6	0.6	0.6	0.6
Spindle oil	3	3	3	3	3

หมายเหตุ Si10 คือ Silica (Hi-Sil 233) ปริมาณ 10 phr  
 CR5 คือ Coumarone Resin ปริมาณ 5 phr  
 CR10 คือ Coumarone Resin ปริมาณ 10 phr  
 WR5 คือ Wood Rosin ปริมาณ 5 phr

#### 4.2.1 ผลการศึกษาความเหนียวของยางคอมปาวด์

ความเหนียวของยางธรรมชาติที่ใช้สารเพิ่มความเหนียวชนิดชันสน และคูมาโรนเรซิน แสดงในรูปที่ 4.42 พบว่าความเหนียวของยางธรรมชาติที่ไม่ใส่สารเพิ่มความเหนียวและสารเสริมแรง จะมีความเหนียวสูงที่สุดเนื่องจากบดผสมง่ายใช้เวลาในการผสมน้อยจึงทำให้ความเหนียวสูง เมื่อเพิ่มปริมาณสารเพิ่มความเหนียวจะทำให้ค่าความเหนียวลดลง ผลมาจากสารเพิ่มความเหนียวจะมีสถานะเป็นของเหลวที่อุณหภูมิสูงจึงทำให้ยางนุ่มลง ดังนั้นการเติมสารกลุ่มนี้จะช่วยปรับปรุงกระบวนการผลิตได้ด้วย (พงษ์ธร, 2548) และที่ปริมาณสารเพิ่มความเหนียว 5 phr เท่า

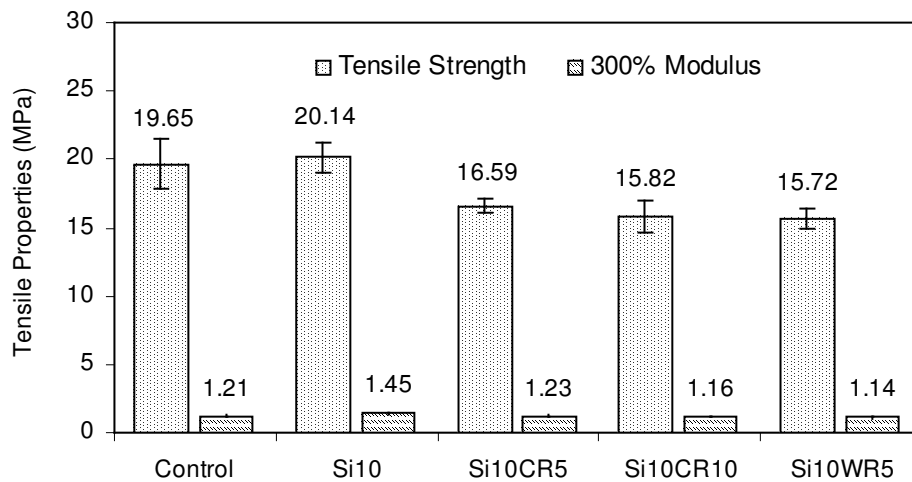
กัน พบว่ายางธรรมชาติที่ใช้สารเพิ่มความเหนียวชนิดชันสน จะให้ค่าความหนืดมูนินต่ำกว่ายางธรรมชาติที่ใช้กัมาโรนเรชิน



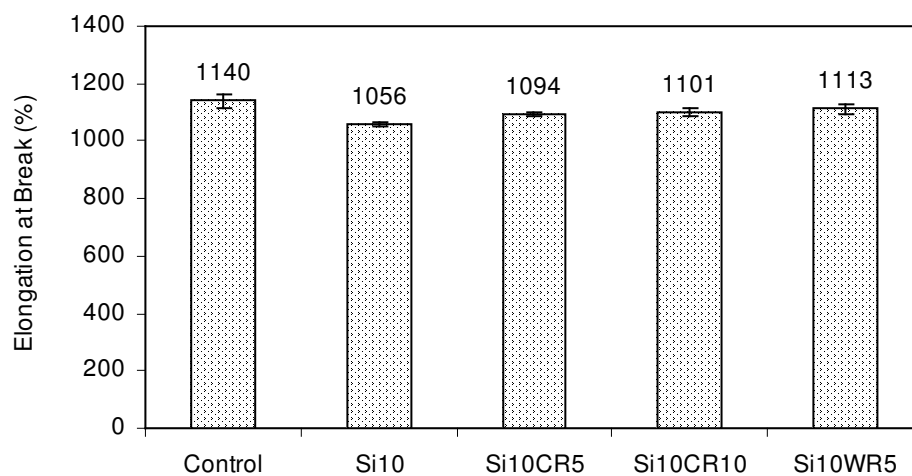
รูปที่ 4.42 ค่าความหนืดมูนินของยางธรรมชาติที่ใช้ชนิดและปริมาณสารเพิ่มความเหนียวต่างชนิดกัน

#### 4.2.2 ผลการศึกษาสมบัติความต้านทานต่อแรงดึง

สมบัติความต้านทานต่อแรงดึง ของยางธรรมชาติที่ใช้สารเพิ่มความเหนียวชนิดชันสนและกัมาโรนเรชินแสดงในรูปที่ 4.43 และ 4.44 พบว่าเมื่อเพิ่มปริมาณสารเพิ่มความเหนียวทำให้ค่าความต้านทานต่อแรงดึง และ 300% มอดุลัส มีแนวโน้มลดลง แต่ค่าระยะยืด ณ จุดขาด กลับมีแนวโน้มเพิ่มขึ้นเล็กน้อย เมื่อเปรียบเทียบสมบัติความต้านทานต่อแรงดึงระหว่างยางธรรมชาติที่ใส่ สาร เพิ่มความเหนียวชนิดชันสน และกัมาโรนเรชินที่ปริมาณ 5 phr เท่ากัน พบว่ายางธรรมชาติที่ใส่ กัมาโรนเรชินจะให้ค่าความต้านทานต่อแรงดึง และ 300% มอดุลัส สูงกว่ายางธรรมชาติที่ใส่ ชันสนแต่ในทางกลับกันค่าระยะยืด ณ จุดขาด ของยางธรรมชาติที่ใส่ ชัน สน มีค่าสูงกว่า กัมาโรนเรชิน ส่วนค่าความต้านทานต่อแรงดึงของยางธรรมชาติที่ใส่ ซิลิกา 10 phr (Si10) > Control > กัมาโรนเรชิน 5 phr > กัมาโรนเรชิน10 phr > ชันสน 5 phr



รูปที่ 4.43 ค่าความต้านทานต่อแรงดึง และ 300% มอดุลัส ของยางธรรมชาติที่ใช้ชนิด และปริมาณสารเพิ่มความเหนียวต่างชนิดกัน



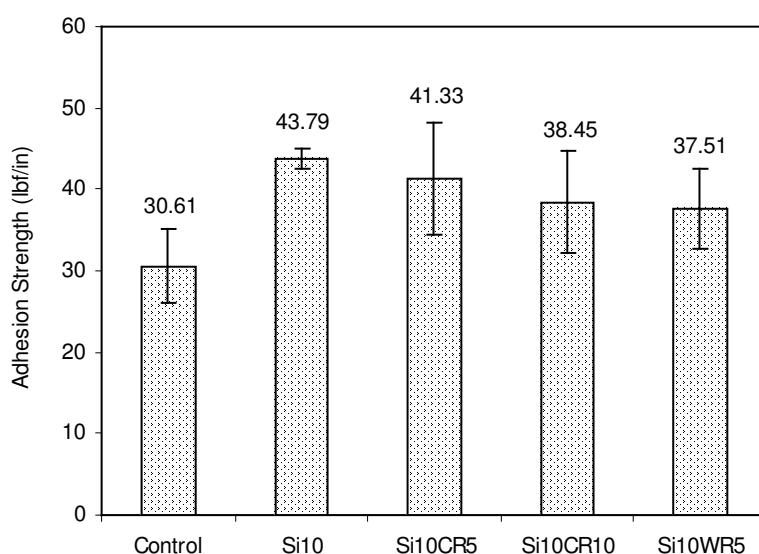
รูปที่ 4.44 ค่าระยะยืด ณ จุดขาด ของยางธรรมชาติที่ใช้ชนิดและปริมาณสารเพิ่มความเหนียวต่างชนิดกัน

#### 4.2.3 ผลการศึกษาอิทธิพลของชนิดและปริมาณสารเพิ่มความเหนียว (Tackifier) ต่อสมบัติการยึดติดระหว่างชั้นของผ้าใบไนลอนและผ้าฝ้าย

นำยางคอมปาวด์ตามตารางที่ 4.22 เคลือบลงบนผ้าใบทั้งสองด้านด้วยเครื่องรีดยาง 3 ลูกกลิ้ง (Calender) จากนั้นนำแผ่นยางธรรมชาติที่เคลือบผ้าใบแล้วมาวางซ้อนกัน 5 ชั้น แล้ววัลคาไนซ์เตรียมเป็นชิ้นตัวอย่างสำหรับทดสอบการยึดติดระหว่างชั้นของผ้าใบไนลอนและผ้าฝ้าย การทดสอบอ้างอิงตามมาตรฐาน ASTM D413 โดยใช้ชิ้นทดสอบขนาด 25×150 mm จากนั้นดึงชั้นผ้า

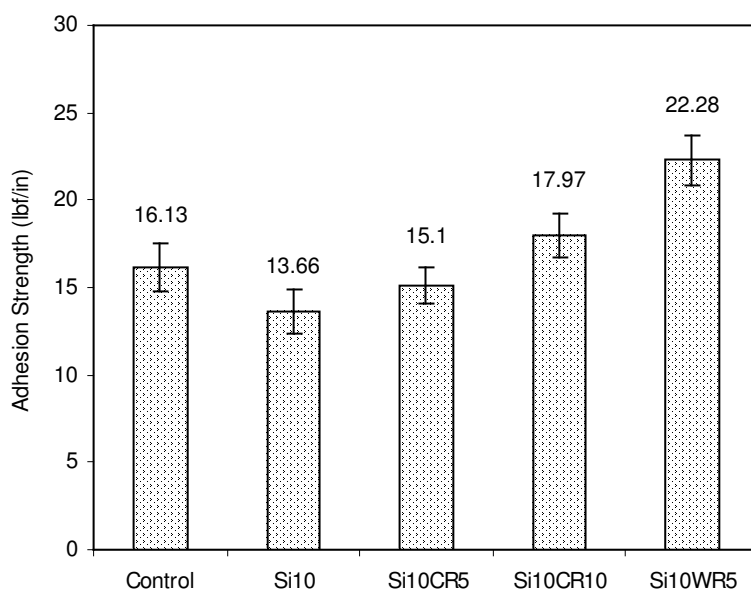
ใบให้ปอกออกจากกันด้วยอัตราเร็ว 50.8 mm/min ในทิศทางตรงกันข้าม 180° ด้วยเครื่อง Tensile testing machine ดึงให้แยกออกจากกันอย่างน้อย 100 mm จุดค่าแรงดึง 3 ค่า คือ ค่าสูงสุด ค่ากลาง และค่าต่ำสุด คำนวณเป็นแรงเฉลี่ย ตามรายละเอียดในหัวข้อ 3.4.12 ได้ผลดังรูปที่ 4.45 ถึง 4.46

จากรูปที่ 4.45 เมื่อเพิ่มปริมาณสารเพิ่มความเหนียวจาก 5 phr เป็น 10 phr พบว่าความแข็งแรงของการยึดติดระหว่างชั้นของผ้าใบไนลอนลดลง เมื่อเปรียบเทียบกับยางธรรมชาติที่ไม่ใช้สารเพิ่มความเหนียว ส่วนยางธรรมชาติที่ใช้ปริมาณสารเพิ่มความเหนียวปริมาณ 5 phr เท่ากัน พบว่ายางธรรมชาติที่ใช้สารเพิ่มความเหนียวชนิดคูมาโรนเรซิน จะมีความแข็งแรงการยึดติดระหว่างชั้นของผ้าใบไนลอนสูงกว่ายางธรรมชาติที่ใช้สารเพิ่มความเหนียวชนิดชันสน ส่วนยางธรรมชาติที่ไม่ใช้สารเพิ่มความเหนียวและสารเสริมแรง พบว่าความแข็งแรงการยึดติดระหว่างชั้นของผ้าใบไนลอนมีค่าต่ำสุด การที่เพิ่มปริมาณสารเพิ่มความเหนียวแล้วทำให้การยึดติดระหว่างชั้นของผ้าใบไนลอนลดลง คาดว่าเป็นผลมาจากปริมาณสารเพิ่มความเหนียวที่เดิมเข้าไปทำให้ค่าความต้านทานแรงดึงของยางธรรมชาติลดลง ส่งผลให้ความแข็งแรงของการยึดติดระหว่างยางธรรมชาติชั้นของผ้าใบไนลอนลดลง



รูปที่ 4.45 ค่าความแข็งแรงการยึดติดระหว่างชั้นของผ้าใบไนลอน ของยางธรรมชาติที่ใช้ชนิดและปริมาณสารเพิ่มความเหนียวต่างชนิดกัน

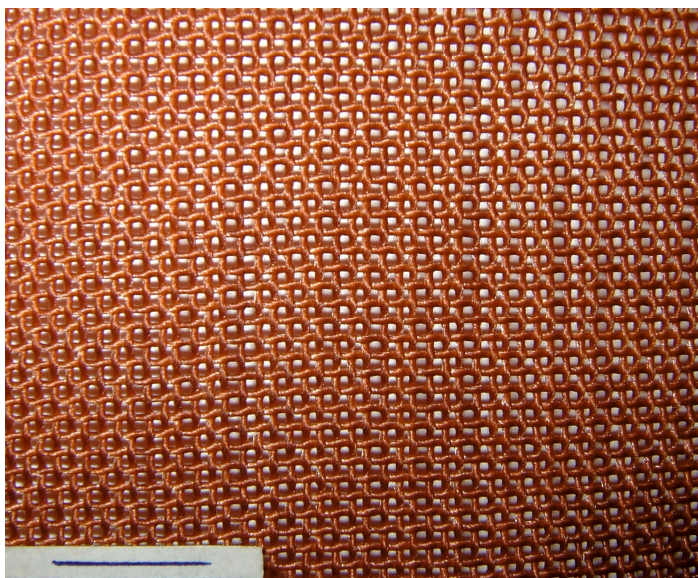
จากรูปที่ 4.46 เมื่อเพิ่มปริมาณสารเพิ่มความเหนียว พบว่าค่าความแข็งแรงของการยึดติดระหว่างชั้นผ้าฝ้ายมีแนวโน้มสูงขึ้น และเมื่อเปรียบเทียบค่าการยึดติดระหว่างยางธรรมชาติที่ใช้สารเพิ่มความเหนียวชนิดคумаโรนเรซิน กับ ชั้นสนในปริมาณ 5 phr เท่ากัน พบว่ายางธรรมชาติที่ใช้สารเพิ่มความเหนียวชนิดชั้นสนจะให้ค่าการยึดติดระหว่างชั้นผ้าฝ้าย สูงกว่ายางธรรมชาติที่ใช้คумаโรนเรซินประมาณ 31.5 เปอร์เซ็นต์



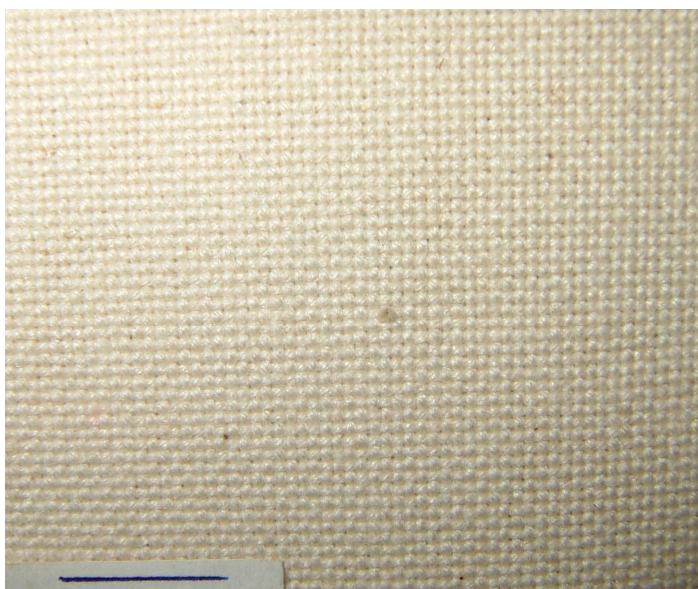
รูปที่ 4.46 ค่าความแข็งแรงการยึดติดระหว่างชั้นของผ้าฝ้าย ของยางธรรมชาติที่ใช้ชนิด และ ปริมาณสารเพิ่มความเหนียวต่างชนิดกัน

โครงสร้างการถักทอของผ้าไนลอนและผ้าฝ้ายมีความแตกต่างกัน ดังรูปที่ 4.47 และ 4.48 คาดว่าเป็นสาเหตุทำให้การยึดติดระหว่างชั้นผ้าใบไนลอนกับยางธรรมชาติสูงกว่าผ้าฝ้าย เนื่องจากช่องว่างระหว่างเส้นใยของผ้าใบไนลอนห่างกว่าผ้าฝ้าย จึงทำใหยางธรรมชาติที่เคลือบบนผ้าใบไนลอนแต่ละชั้นเชื่อมถึงกัน เป็นผลให้ยางธรรมชาติยึดติดเป็นเนื้อเดียวกันแสดงในรูปที่ 4.49 ส่งผลให้ค่าความแข็งแรงของการยึดติดระหว่างชั้นผ้าใบไนลอนกับยางธรรมชาติสูงขึ้น ส่วนชั้นผ้าฝ้ายกับยางธรรมชาติดังรูปที่ 4.50 จะเห็นได้ว่ายางธรรมชาติเพียงแค่อัดติดบนผิวของผ้าฝ้ายไม่ถึงกับแทรกเข้าไปในเนื้อผ้าฝ้าย จึงเป็นผลให้ค่าความแข็งแรงของการยึดติดระหว่างชั้นผ้าฝ้ายกับยางธรรมชาติต่ำกว่าผ้าไนลอน แต่เมื่อใช้ยางธรรมชาติที่มีสารเพิ่มความเหนียวในปริมาณที่มาก หรือใช้ยางธรรมชาติที่ไม่ใส่สารเสริมแรงนำมาเคลือบลงบนผ้าฝ้าย จะเห็นได้ว่ายางธรรมชาติสามารถแทรกเข้าไปในเนื้อผ้าฝ้ายดังรูปที่ 4.51 เป็นผลให้ค่าความแข็งแรงของการยึดติดระหว่างชั้นผ้าฝ้าย

กับยางธรรมชาติมีแนวโน้มสูงขึ้น แต่ก็ไม่สูงเท่ากับการยืดหดระหว่างชั้นผ้าใบในลอนกับยางธรรมชาติ

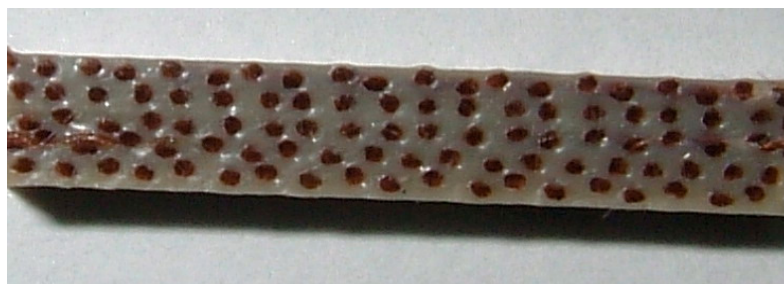


รูปที่ 4.47 ลักษณะโครงสร้างการถักทอของผ้าใบในลอน



รูปที่ 4.48 ลักษณะโครงสร้างการถักทอของผ้าฝ้าย

หมายเหตุ เส้นสีดำที่ขีดบนผ้าใบในแนวนอนมีขนาดเท่ากับ 1 cm



รูปที่ 4.49 ภาพตัดขวางของชั้นผ้าใบไนลอนกับยางธรรมชาติ (สูตร Si10)



รูปที่ 4.50 ภาพตัดขวางของชั้นผ้าฝ้ายกับยางธรรมชาติ (สูตร Si10)



รูปที่ 4.51 ภาพตัดขวางของชั้นผ้าฝ้ายกับยางธรรมชาติ (สูตร Si10WR5)

สูตรยางระหว่างชั้นผ้าใบที่เหมาะสมสำหรับผ้าใบไนลอนคือ Si-10 และ Si10CR5 ส่วนสูตรยางที่เหมาะสมสำหรับผ้าฝ้ายคือ Si10WR5 แสดงในตารางที่ 4.23

ตารางที่ 4.23 สูตรยางระหว่างชั้นผ้าใบที่เหมาะสมสำหรับผ้าใบไนลอนและผ้าฝ้าย

Ingredient	Loading (phr)		
	Si10	Si10CR5	Si10WR5
RSS No.3	100	100	100
Sulphur	1.5	1.5	1.5
Stearic acid	2	2	2
Zinc oxide	5	5	5
<b>Hi-Sil 233</b>	<b>10</b>	<b>10</b>	<b>10</b>
CBS, 6PPD	1	1	1
<b>Coumarone Resin</b>	-	<b>5</b>	-
<b>Wood Rosin</b>	-	-	<b>5</b>
PEG 4000	0.6	0.6	0.6
Spindle oil	3	3	3

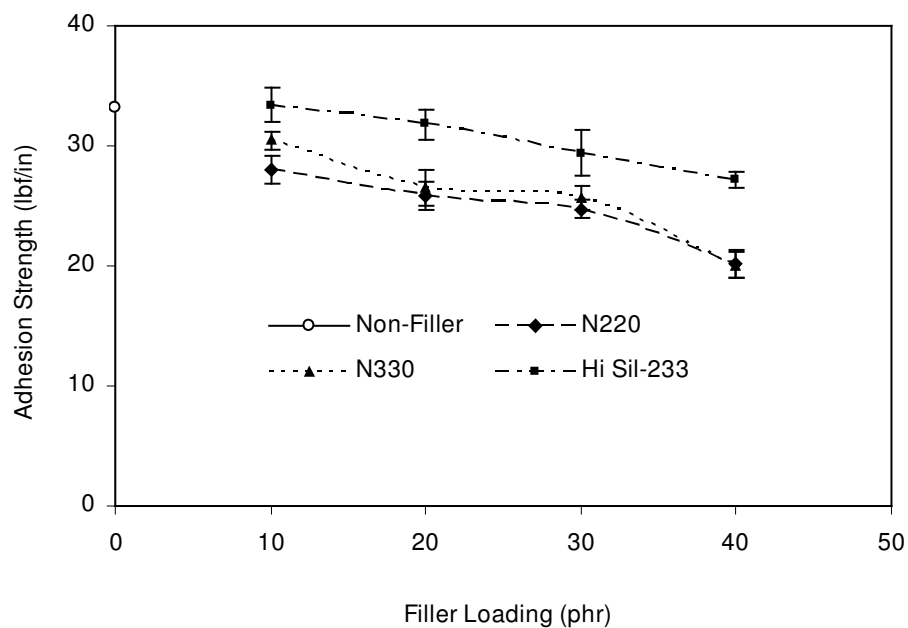
#### 4.3 ผลการศึกษาค่าความแข็งแรงของปริมาณสารเสริมแรง (N220, N330 และ Hi-Sil 233), Si-69 และยาง EPDM ต่อสมบัติการติดประสานระหว่างยางธรรมชาติกับผ้าใบไนลอนและผ้าฝ้าย

การติดประสานระหว่างยางธรรมชาติกับผ้าใบไนลอนและผ้าฝ้าย โดยใช้สูตรยางตามตารางที่ 4.1, 4.2, 4.15 และ 4.19 ทำการทดสอบตามมาตรฐาน ASTM D1876 ดังรายละเอียดในหัวข้อ 3.4.8 ได้ผลการทดลองแสดงในรูปที่ 4.52 ถึง 4.55 พบว่ายางธรรมชาติที่ใช้ผ้าใบไนลอนจะให้ค่าความแข็งแรงของการติดประสาน สูงกว่ายางธรรมชาติที่ใช้ผ้าฝ้ายและเมื่อเพิ่มปริมาณสารเสริมแรง (N220, N330 และ Hi-Sil 233) และ Si-69 พบว่าค่าความแข็งแรงของการติดประสานระหว่างยางธรรมชาติกับผ้าฝ้ายมีแนวโน้มลดลง แต่ในทางตรงกันข้ามค่าความแข็งแรงของการติดประสานระหว่างยางธรรมชาติกับผ้าใบไนลอนมีแนวโน้มสูงขึ้น เมื่อเปรียบเทียบค่าความแข็งแรงของการติดประสาน ของยางธรรมชาติที่ใช้สารเสริมแรงต่างชนิดกัน พบว่ายางธรรมชาติที่ใช้สารเสริมแรง Hi-Sil 233 จะให้ค่าความแข็งแรงของการติดประสานสูงกว่ายางธรรมชาติที่ใช้ N220 และ N330

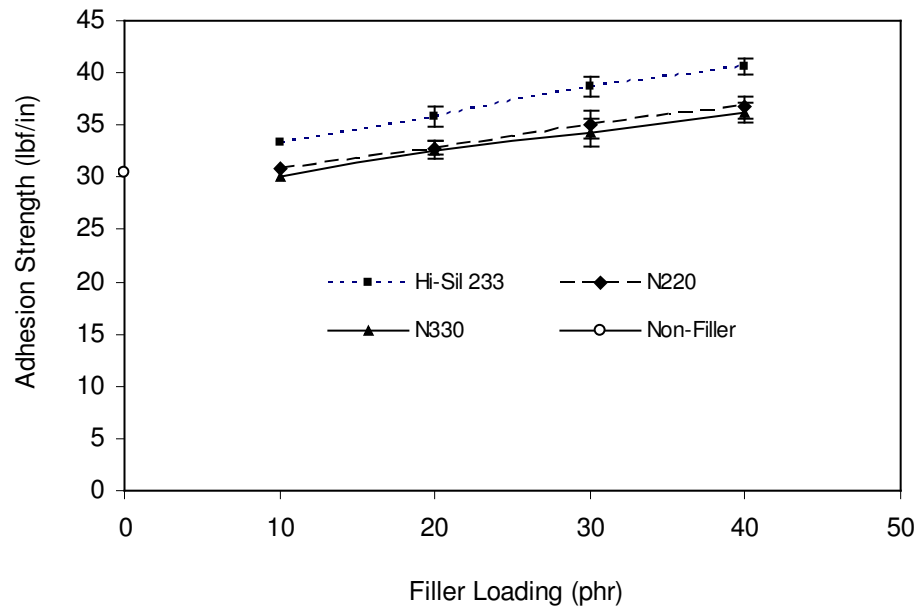


ส่วนค่าความแข็งแรงของการติดประสานของยางผสม EPDM/NR พบว่ามีแนวโน้มลดลงเมื่อเพิ่มปริมาณยาง EPDM

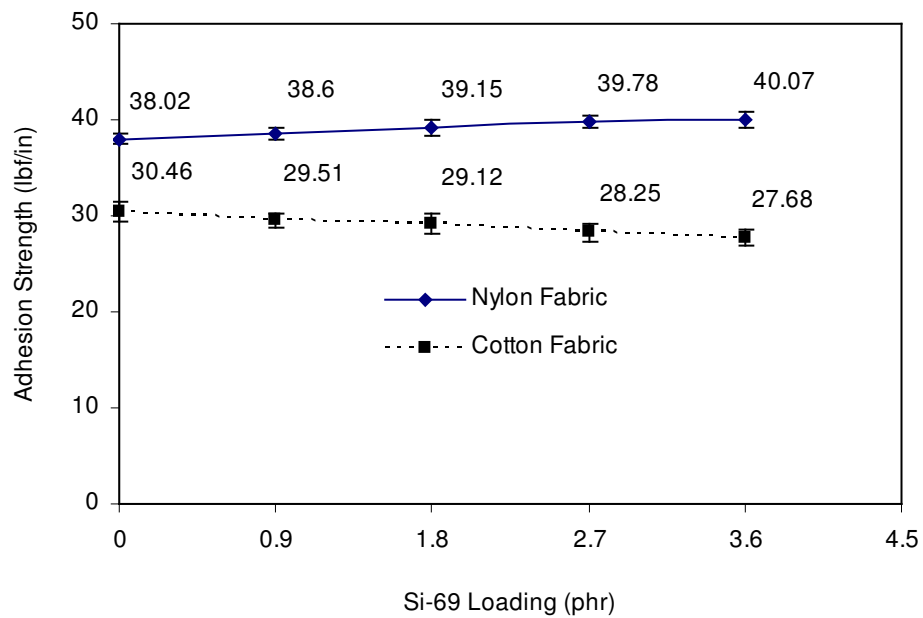
เป็นที่น่าสังเกตว่าค่าความแข็งแรงของการติดประสานระหว่างยางธรรมชาติกับผ้าใบไนลอนมีความสัมพันธ์กับค่าความต้านทานต่อแรงดึง และความต้านทานต่อการฉีกขาด หมายความว่าถ้ายางธรรมชาติมีค่าดังกล่าวสูง แสดงว่าค่าความแข็งแรงของการติดประสานระหว่างยางธรรมชาติกับผ้าใบไนลอนมีค่าสูงขึ้นด้วยเช่นกัน จากโครงสร้างการถักทอของผ้าใบไนลอนจะมีช่องว่างระหว่างเส้นใยห่างกว่าผ้าฝ้าย จึงทำให้ยางธรรมชาติที่เคลือบผ้าใบไนลอนทั้งสองด้านเชื่อมถึงกัน เมื่อทดสอบการดึงลอกพบว่าค่าความแข็งแรงของการติดประสานระหว่างยางธรรมชาติกับผ้าใบไนลอนมีแนวโน้มสูงขึ้น ส่วนผ้าฝ้ายจะให้ค่าการติดประสานกับยางธรรมชาติที่มีความเหนียว (Tack) ได้ดี เช่น ยางธรรมชาติที่มีสารเสริมแรงในปริมาณที่น้อยๆ เป็นต้น



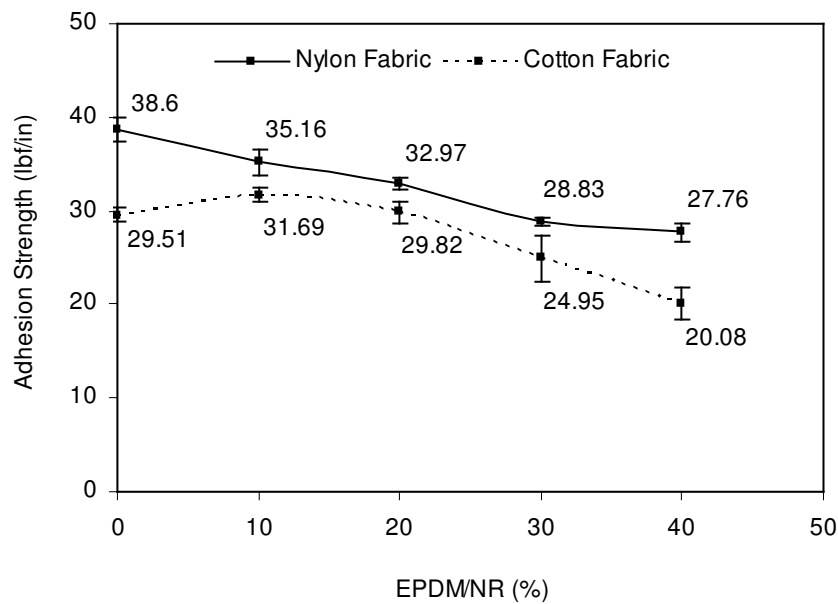
รูปที่ 4.52 ค่าความแข็งแรงของการติดประสานระหว่างยางธรรมชาติกับผ้าฝ้าย ของยางธรรมชาติที่ใช้สารเสริมแรง N220, N330 และ Hi-Sil 233



รูปที่ 4.53 ค่าความแข็งแรงของการติดประสานระหว่างยางธรรมชาติกับผ้าใบไนลอน ของยางที่ใช้สารเสริมแรง N220, N330 และ Hi-Sil 233



รูปที่ 4.54 ค่าความแข็งแรงการติดประสานระหว่างยางธรรมชาติกับผ้าใบไนลอนและผ้าฝ้าย ของยางธรรมชาติที่ใช้ Si-69 ปริมาณต่างๆ



รูปที่ 4.55 ค่าความแข็งแรงของการติดประสานระหว่างยางผสม (EPDM/NR) กับผ้าไนลอน และผ้าฝ้าย

#### 4.4 ผลการศึกษาอิทธิพลของกาวยางธรรมชาติ (Rubber Adhesive) ต่อสมบัติการติดประสานระหว่างยางธรรมชาติกับผ้าฝ้าย

จากการศึกษาสมบัติการติดประสานระหว่างยางธรรมชาติกับผ้าไนลอนและผ้าฝ้าย พบว่า ปริมาณสารเสริมแรงและ Si-69 ส่งผลต่อความแข็งแรงของการติดประสานระหว่างยางธรรมชาติกับผ้าไนลอนและผ้าฝ้าย โดยที่เมื่อเพิ่มปริมาณสารเสริมแรงและ Si-69 มากขึ้น ทำให้ความแข็งแรงของการติดประสานระหว่างยางธรรมชาติกับผ้าไนลอนสูงขึ้น แต่ความแข็งแรงของการติดประสานมีแนวโน้มลดลงเมื่อใช้ผ้าฝ้าย ดังนั้นผู้วิจัยจึงได้ทำการศึกษาอิทธิพลของกาวยางธรรมชาติต่อสมบัติการยึดติดระหว่างยางธรรมชาติกับผ้าฝ้าย เพื่อเป็นข้อมูลในการตัดสินใจในการเลือกใช้ชนิดของผ้าใบในการทำผลิตภัณฑ์ถุงเก็บน้ำ สูตรยางที่ใช้ศึกษาอิทธิพลของกาวยางธรรมชาติต่อสมบัติการติดประสานระหว่างยางธรรมชาติกับผ้าฝ้ายแสดงไว้ในตารางที่ 4.24

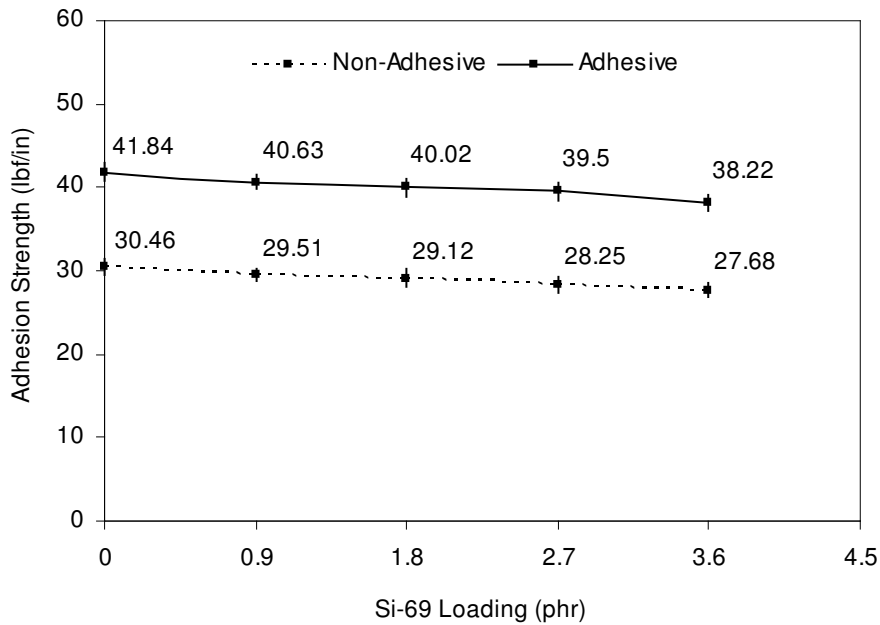
**ตารางที่ 4.24** สูตรยางที่ใช้ศึกษาอิทธิพลของกาวยางธรรมชาติ ต่อสมบัติการติดประสานระหว่างยางธรรมชาติกับผ้าฝ้าย

Ingredient	Loading (phr)
STR 5L	100
Sulphur	2.5
ZnO	5
Stearic acid	1
Wing Stay L	1
TMTM	1
Coumarone resin	5

#### 4.4.1 ผลการศึกษาสมบัติการติดประสานระหว่างยางธรรมชาติกับผ้าฝ้ายที่เคลือบด้วยกาวยางธรรมชาติ

นำยางคอมปาวด์ที่ได้จากตารางที่ 4.24 มาละลายในตัวทำละลายโทลูอินได้เป็นสารละลายกาวยางธรรมชาติแล้วทาลงบนผ้าฝ้ายโดยใช้มีดปาด ตั้งทิ้งไว้ให้แห้งที่อุณหภูมิห้องประมาณ 1 วัน ความหนาของผ้าฝ้ายที่เคลือบยางแล้วเฉลี่ยประมาณ 0.67 mm จากนั้นใช้สูตรยางตามตารางที่ 4.15 เคลือบบนกาวยางด้วยเครื่องอัดเบ้าโดยใช้ผ้าฝ้ายและยางธรรมชาติวางสลับชั้น ตัดชิ้นทดสอบให้มีขนาด 25×125 mm ทดสอบตามมาตรฐาน ASTM D1876 ด้วยเครื่อง Tensile testing machine ดึงลอกแผ่นยางออกจากผ้าฝ้ายด้วยอัตราเร็ว 254 mm/min ในทิศทางตรงกันข้าม 180° ตามรายละเอียดในหัวข้อ 3.4.8 ได้ผลดังรูปที่ 4.56

จากรูปที่ 4.56 พบว่าผ้าฝ้ายที่ทา กาวยางธรรมชาติก่อนที่จะเคลือบด้วยสูตรยางตามตารางที่ 4.15 จะเห็นได้ว่าค่าความแข็งแรงของการติดประสานระหว่างยางธรรมชาติกับผ้าฝ้ายสูงขึ้น และสูงกว่าผ้าฝ้ายที่ไม่ใช้กาวยางธรรมชาติ เนื่องจากสารละลายกาวยางธรรมชาติสามารถซึมผ่านเข้าไปในเนื้อผ้าฝ้ายได้ เมื่อกาวยางธรรมชาติแห้งยางธรรมชาติบางส่วนจะฝังอยู่ในเนื้อผ้าฝ้าย ส่วนยางธรรมชาติที่นำมาเคลือบก็จะติดประสานกับยางธรรมชาติที่ฝังอยู่ในผ้าฝ้าย จึงทำให้การติดประสานระหว่างยางธรรมชาติกับผ้าฝ้ายดีขึ้น



**รูปที่ 4.56** ค่าความแข็งแรงของการติดประสานระหว่างยางธรรมชาติกับผ้าฝ้าย ของผ้าฝ้ายที่เคลือบ กาวยางธรรมชาติ และไม่เคลือบกาวยางธรรมชาติ

สรุปได้ว่าการใช้กาวยางธรรมชาติ จะให้ค่าการยึดติดเป็นที่น่าสนใจและถ้าต้องการนำผ้า ฝ้ายที่มีเนื้อแน่นไปใช้ในการทำผลิตภัณฑ์ประเภทผ้าใบเคลือบด้วยยาง แนะนำให้ทา กาวยางธรรมชาติก่อนจะทำให้การติดประสานระหว่างยางกับผ้าใบสูงขึ้นและสูงพอๆ กับผ้าใบไนลอน

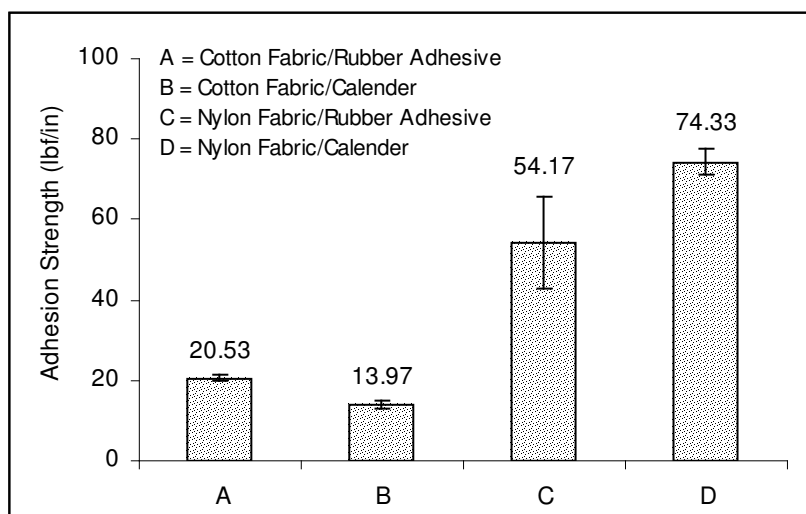
#### 4.5 ผลการเปรียบเทียบเทคนิคการเคลือบยางลงบนผ้าใบด้วยเครื่องรีดยาง 3 ลูกกลิ้ง (Calender) และการเคลือบโดยใช้สารละลายกาวยาง (Rubber Adhesive) ต่อสมบัติการยึดติดระหว่างชั้นยาง กับผ้าใบไนลอนและผ้าฝ้าย

ทำการศึกษาเปรียบเทียบเทคนิคการเคลือบยางลงบนผ้าใบด้วยเครื่องรีดยาง 3 ลูกกลิ้ง และ เทคนิคการเคลือบโดยใช้สารละลายกาวยางธรรมชาติ ต่อสมบัติการยึดติดระหว่างชั้นยางกับผ้าใบ ไนลอนและผ้าฝ้าย สูตรยางที่ใช้ในการศึกษาแสดงในตารางที่ 4.25

ตารางที่ 4.25 สูตรยางที่ใช้การศึกษาเทคนิคการเคลือบยางลงบนผ้าใบด้วยเครื่องรีดยาง 3 ลูกกลิ้ง (Calender) และการเคลือบโดยใช้สารละลายกาวยาง (Rubber Adhesive)

Ingredient	Loading (phr)
RSS No.3	100
Sulphur	2.5
Stearic acid	2
Zinc oxide	5
Hi-Sil 233	30
CBS, 6PPD, Paraffin wax	1
Si-69	0.9
PEG	1.8
Spindle oil	1.8

นำยางคอมปาวด์ตามตารางที่ 4.25 เคลือบลงบนผ้าใบไนลอนและผ้าฝ้าย ด้วยเทคนิคการเคลือบโดยใช้สารละลายกาวยางธรรมชาติและเครื่องรีดยาง 3 ลูกกลิ้ง เตรียมชิ้นทดสอบและทดสอบสมบัติการยึดติดระหว่างชั้นยางกับผ้าใบดังรายละเอียดในหัวข้อ 3.4.12 ได้ผลการทดลองดังรูปที่ 4.57 พบว่าเทคนิคการเคลือบยางลงบนผ้าใบด้วยเครื่องรีดยาง 3 ลูกกลิ้ง จะให้ค่าความแข็งแรงของการยึดติดระหว่างชั้นผ้าใบสูงกว่าเทคนิคการเคลือบด้วยสารละลายกาวยาง ส่วนผ้าใบไนลอนที่เคลือบด้วยเครื่องรีดยาง 3 ลูกกลิ้ง จะให้ค่าความแข็งแรงของการยึดติดสูงกว่าผ้าใบไนลอนที่เคลือบด้วยเทคนิคสารละลายกาวยาง คาดว่าเป็นผลมาจากตัวทำละลายที่มีส่วนทำให้ระยะห่างระหว่างโมเลกุลของยางเพิ่มขึ้น เป็นผลให้ความต้านทานต่อแรงดึงของยางลดลง เมื่อความต้านทานต่อแรงดึงต่ำทำให้ชั้นระหว่างยางธรรมชาติกับผ้าไนลอนดึงลอกออกจากกันได้ง่าย ดังนั้นความต้านทานต่อแรงดึงจึงมีผลต่อความแข็งแรงของการยึดติดระหว่างชั้นผ้าใบไนลอนกับยางธรรมชาติ แต่เมื่อใช้ผ้าฝ้ายพบว่าเทคนิคการเคลือบผ้าใบด้วยสารละลายกาวยางจะให้ค่าสูงกว่าผ้าฝ้ายที่เคลือบด้วยเครื่องรีดยาง 3 ลูกกลิ้ง คาดว่าเป็นผลมาจากสารละลายกาวยางสามารถแทรกเข้าไปในเนื้อผ้าฝ้ายได้ และเมื่อตัวทำละลายแห้งยางคอมปาวด์จะฝังอยู่ในเนื้อผ้าฝ้าย ส่งผลให้มีค่าการยึดติดสูงกว่าผ้าฝ้ายที่เคลือบด้วยเครื่องรีดยาง 3 ลูกกลิ้ง อย่างไรก็ตามเทคนิคการเคลือบยางลงบนผ้าใบทั้งสองวิธีจะให้ค่าความแข็งแรงของการยึดติดระหว่างชั้นผ้าใบไนลอนสูงกว่าผ้าฝ้าย



รูปที่ 4.57 ค่าความแข็งแรงของการยึดติดระหว่างชั้นผ้าใบ ของผ้าใบที่ใช้เทคนิคการเคลือบยางโดยใช้เครื่องรีดยาง 3 ลูกกลิ้ง และการเคลือบโดยใช้สารละลายกาวยาง

#### 4.6 ผลการศึกษาทิศทางการวางตัวของเส้นใยต่อความแข็งแรงของผ้าใบ

ทำการศึกษาทิศทางการวางตัวของเส้นใย ต่อความแข็งแรงของผ้าใบในลอนและผ้าฝ้ายที่เคลือบด้วยยางแล้ว โดยกำหนดให้เส้นใยทำมุม  $0^{\circ}/90^{\circ}$  และ มุม  $\pm 45^{\circ}$  สูตรยางที่ใช้ศึกษาแสดงในตารางที่ 4.26

ตารางที่ 4.26 สูตรยางที่ใช้ศึกษาทิศทางการวางตัวของเส้นใยเมื่อให้เส้นใยทำมุม  $\pm 45^{\circ}$  และ  $0^{\circ}/90^{\circ}$  ต่อความแข็งแรงของผ้าใบ

Ingredient	Loading (phr)
RSS No.3	100
Sulphur	2.5
Stearic acid	2
Zinc oxide	5
Hi-Sil 233	30
CBS, 6PPD, Paraffin wax	1
Si-69	0.9
PEG	1.8
Spindle oil	1.8

นำยางคอมปาวด์ตามตารางที่ 4.25 เคลือบลงบนผ้าใบไนลอนและผ้าฝ้ายด้วยเครื่องรีด ยาง 3 ลูกกลิ้ง แล้วขึ้นรูปเตรียมเป็นชิ้นตัวอย่างตามรายละเอียดในหัวข้อ 3.4.13 จากนั้นตัดเป็นชิ้น ทดสอบให้เส้นใยทำมุม  $0^{\circ}/90^{\circ}$  และ  $\pm 45^{\circ}$  ขนาดชิ้นทดสอบ  $25 \times 150$  mm ทดสอบสมบัติตามมาตรฐาน ASTM D5035 โดยใช้เครื่อง Tensile testing machine ได้ผลการทดลองแสดงในตารางที่ 4.26 และ 4.27 และรูปที่ 4.58

จากตารางที่ 4.27 และ 4.28 และรูปที่ 4.58 เมื่อเพิ่มจำนวนชั้นของผ้าใบพบว่าทั้งผ้าใบ ไนลอนและผ้าฝ้ายมีความทนต่อแรงดึงเพิ่มขึ้น ทิศทางการวางตัวของเส้นใยมีผลต่อความแข็งแรง ของผ้าใบ จากการทดลองพบว่าผ้าใบไนลอนจะมีความทนต่อแรงดึงสูงเมื่อให้เส้นใยทำมุม  $0^{\circ}/90^{\circ}$  ส่วนผ้าฝ้ายจะมีความทนต่อแรงดึงสูงสุดเมื่อให้เส้นใย ทำมุม  $\pm 45^{\circ}$  เมื่อเปรียบเทียบความทนต่อ แรงดึงระหว่างผ้าใบไนลอนกับผ้าฝ้าย จะเห็นได้ว่าผ้าใบไนลอนจะมีความทนต่อแรงดึงสูงกว่าผ้า ฝ้าย ในกรณีที่ให้ ให้เส้นใยทำมุม  $0^{\circ}/90^{\circ}$  แต่เมื่อให้เส้นใยทำมุม  $\pm 45^{\circ}$  พบว่าผ้าฝ้ายจะมีความทน ต่อแรงดึงสูงกว่าผ้าใบไนลอน คาดว่าเป็นผลมาจากโครงสร้างการถักทอของผ้าใบไนลอนมีช่องว่าง ระหว่างเส้นใยกว้างกว่าผ้าฝ้าย เมื่อทดสอบความทนต่อแรงดึงโดยเส้นใยที่ทำมุม  $\pm 45^{\circ}$  พบว่าเส้น ใยแต่ละเส้นของผ้าใบไนลอนจะเกิดการไถลเข้าหากันทำให้เกิดการเสียดสีระหว่างเส้นใย เป็นผล ให้ความทนต่อแรงดึงต่ำ ส่วนผ้าฝ้ายจะมีความหนาแน่นของเส้นใยมากกว่าคือ ช่องว่างระหว่าง เส้นใยชิดกันมากทำให้ทนต่อแรงดึง เมื่อให้เส้นใย  $\pm 45^{\circ}$

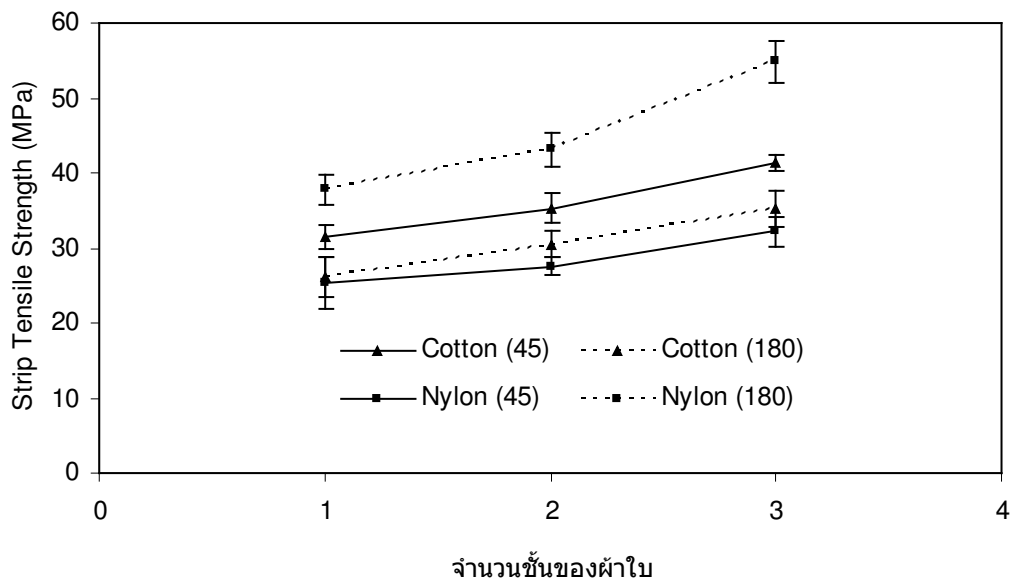
**ตารางที่ 4.27** ค่าความทนต่อแรงดึง (Strip tensile strength) ของผ้าใบไนลอนและผ้าฝ้ายที่เคลือบ ยางธรรมชาติแล้ว เมื่อให้เส้นใยทำมุม  $\pm 45^{\circ}$

ค่าความทนต่อแรงดึง เมื่อให้เส้นใยทำมุม $\pm 45^{\circ}$		
ชนิดของผ้าใบ	จำนวนชั้นผ้าใบ	ความต้านทานต่อแรงดึง (MPa)
ผ้าไนลอน	1	$25.37 \pm 3.51$
	2	$27.55 \pm 1.14$
	3	$32.18 \pm 2.02$
ผ้าฝ้าย	1	$31.45 \pm 1.64$
	2	$35.31 \pm 1.94$
	3	$41.23 \pm 1.06$



ตารางที่ 4.28 ค่าความทนต่อแรงดึง (Strip tensile strength) ของผ้าใบไนลอนและผ้าฝ้ายที่เคลือบ  
 ยางธรรมชาติเมื่อให้เส้นใยทำมุม  $0^{\circ}/90^{\circ}$

ค่าความทนต่อแรงดึง เมื่อให้เส้นใยทำมุม $0^{\circ}/90^{\circ}$		
ชนิดของผ้าใบ	จำนวนชั้นผ้าใบ	ความต้านทานต่อแรงดึง (MPa)
ผ้าไนลอน	1	$37.77 \pm 1.96$
	2	$43.10 \pm 2.28$
	3	$54.88 \pm 2.82$
ผ้าฝ้าย	1	$26.16 \pm 2.64$
	2	$30.52 \pm 1.85$
	3	$35.18 \pm 2.30$



รูปที่ 4.58 ค่าความทนต่อแรงดึง (Strip tensile strength) ของผ้าใบไนลอนและผ้าฝ้ายที่เคลือบยาง  
 แล้ว เมื่อให้เส้นใยทำมุม  $0^{\circ}/90^{\circ}$  และ  $\pm 45^{\circ}$

#### 4.7 ผลการทดสอบการใช้งานจริงของผลิตภัณฑ์ถุงเก็บน้ำ

จากการทดสอบการใช้งานจริงของผลิตภัณฑ์ถุงเก็บน้ำ พบว่าสามารถใช้งานได้เป็นอย่างดี  
 ในถิ่นทุรกันดาร เนื่องจากสามารถกลิ้ง ชักลาก ยก-โยน และเมื่อเทน้ำออกแล้วสามารถม้วนเก็บได้  
 ซึ่งเป็นจุดเด่นของผลิตภัณฑ์นี้ การทดสอบใช้งานจริงของถุงเก็บน้ำ แสดงในรูปที่ 4.59 ถึง 4.63



รูปที่ 4.59 ทดสอบเติมน้ำปริมาตร 25 L



รูปที่ 4.60 ทดสอบกลิ้งและชักลาก



รูปที่ 4.61 ทดสอบยกและโยน



รูปที่ 4.62 ทดสอบการถ่ายเทน้ำ



รูปที่ 4.63 เมื่อเทน้ำออกแล้วสามารถม้วน หรือพับเก็บได้